

ния. Для радиус-вектора R этой частицы и угла Ω между радиус-вектором и направлением на перигелий орбиты мы получили значения (4). Перспективное проектирование R и Ω на небо дало для значений прямого восхождения и склонения частицы значения (5). Соответствующая точка С значительно отстоит от хвоста кометы, что подтверждает принадлежность последнего к I типу.

Черт. 2 воспроизводит снимок марта 28.955 U. T. Как видно из него, от головы кометы отходит короткий расплывчатый выступ, который вероятно представляет собой зачаток хвоста III типа. На последующих двух снимках можно заметить незначительное удлинение этого выступа.

Февраль, 1944.

აბასთუმანის ასტროფიზიკური ობსერვატორის გლუცებები № 8. 1945
БЮЛЛЕТЕНЬ АБАСТУМАНСКОЙ АСТРОФИЗИЧЕСКОЙ ОБСЕРВАТОРИИ № 8. 1945
BULLETIN OF THE ABASTUMANI ASTROPHYSICAL OBSERVATORY No. 8. 1945

კურორტ აბასთუმანის აშტიციმეტრული დახასიათებისათვის

გ. ჩხაიძე

კურორტი აბასთუმანი მდებარეობს ჩრდილოეთის განედის $41^{\circ}45'$ -ზე და აღმოსავლეთის გრძელის $42^{\circ}50'$ -ზე გრინგიჩიდან, მდინარე ოცხეს ხეობაში, რომელიც კურორტიდან 10 კმ დაშორებით, სამხრეთით, ერთვის მდინარე ქობლიანი ზონის საშუალო სიმაღლე ზღვის დონედან 1200—1500 მეტრია, მეტეოროლოგიური სადგურის სიმაღლე კი—1260 მ.

აბასთუმანი შექრილია აჭარა—გურიის ქედის სამხრეთი კალთებში. ეს ქედი იმ ნაწილში, სადაც იყი ესაზღვრება კურორტის ზონას 2000—2800 მეტრის სიმაღლეს აღწევს ზღვის დონედნ. აბასთუმანი ამ ქედის განშტოებებით არის შემოზღუდული ყოველი მხრიდან, გარდა სამხრეთისა, საითაც გას ახალის ტაფობი აკრავს. უფრო მოშორებით (80—90 კმ) ამ მიმართულებით ახალქალაქის ზეგნი მდებარეობს, რომლის სიმაღლე საშუალოდ 1800 მეტრია.

აბასთუმანი საკავშირო მნიშვნელობის კურორტია, მისი კლიმატის შესწავლას ბევრი შრომა მიეძღვნა, რომელთაც ძირითადად ადგილობრივი მეტეოროლოგიური სადგურის მრავალწლიური მონაცემები უდევს საფუძვლად. საოთავის მასალების უქონლობის გამო, ამ შრომებში ან სულ არა ანდა მცირეთანადო მასალების უქონლობის გამო, ამ შრომებში ან სულ არა ანდა მარგამონაკლის წარმოადგენს მხოლოდ გ. ჭირა ჭადის შრომა¹, სადაც, მარგამონაკლის მოცემულია აქტინომეტრული დამახსიათებლები, მაგრამ ესენიც მცირალია, მოცემულია აქტინომეტრული დამახსიათებლები. ამიტომ მიზანშეწონირე პერიოდის ($1-1\frac{1}{2}$, წ.) მასალებიდანაა გამოყვანილი. ამიტომ მიზანშეწონირე წერილის ($1-1\frac{1}{2}$, წ.) მასალებიდანაა გამოყვანილი. ამიტომ მიზანშეწონირე წერილის გამოვაქვეყნოთ ზოგიერთი შედეგები, რომლებიც მიღებულია და მიგვაჩნია გამოვაქვეყნოთ ზოგიერთი შედეგები, რომლებიც მიღებულია აბასთუმნის მეტეოროლოგიურ სადგურზე წარმოებული აქტინომეტრული დაკვირვებებიდან. აქტინომეტრული დაკვირვებები აბასთუმნის მეტეოროლოგიურ კვირვებებიდან. აქტინომეტრული დაკვირვებები აბასთუმნის მეტეოროლოგიურ სადგურზე წარმოებს 1932 წლიდან, მიხელსონის სისტემის აქტინომეტრის საშუალებით, საერთაშორისო პროგრამის მიხედვით.

წინამდებარე წერილში მოვანილი მონაცემები მიღებულია 1932—40 წწ პერიოდში წარმოებულ აქტინომეტრულ დაკვირვებათა საფუძველზე, ამიტომ სხვა დამხმარე კლიმატური ელემენტებიც (მზის ნათება, სინოტიცე და სხვა) ამავე პერიოდს ეკუთვნიან. აქტინომეტრული სიდიდეები მოცემულია ევროპული სკალის (Angström-ის) მიხედვით.

როგორც ზეცითაც აღნიშნეთ, აბასთუმანი ხეობაში მდებარეობს, რის გამოც მისი პორიტონტი მნიშვნელოვნად დახურულია მახლობელი სერებით.

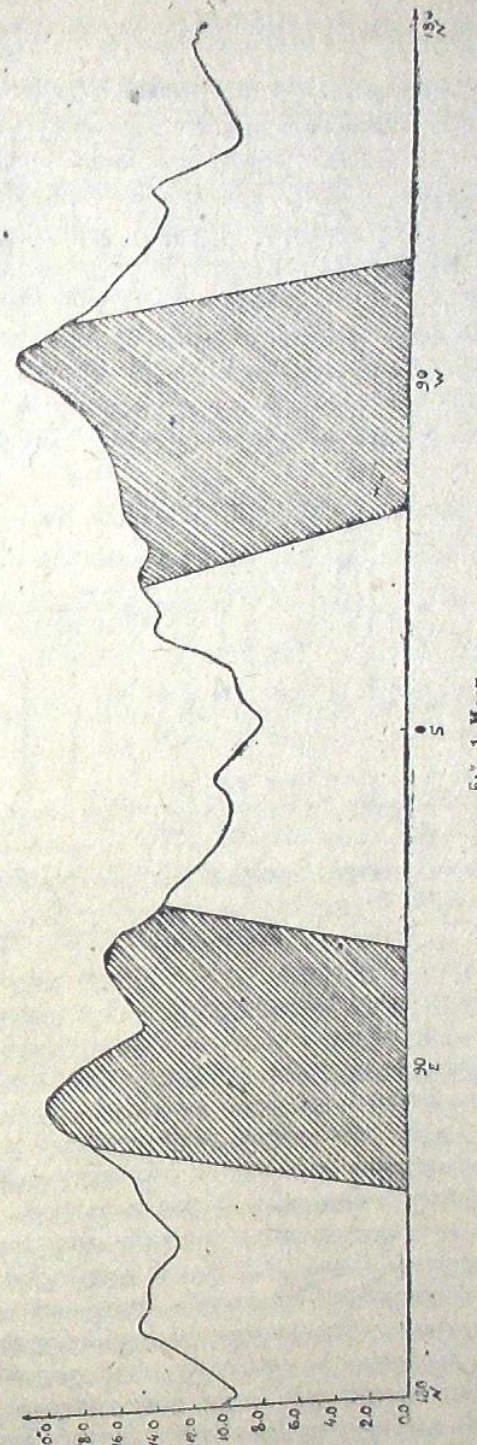
ჰორიზონტი განსაკუთრებით დახურულია აღმოსავლეთით და დასავლეთით, რაც განაც ხეობას მერიდიანული მიმართულება აქვს. აბასთუმნის ჰორიზონტი სურას ნახ. 1 იძლევა, რომელზედაც ჰორიზონტის სიმაღლე (მეტეოროლოგიური რი სადგურიდან აზომილი) გრადუსებშია მოცუმული. ამ ნახაზზე ხშირი ხაზებით ნაჩვენებია ჰორიზონტის ის ნაწილი, რომელშიაც ხდება მხის ამოსვლა-ჩა სვლის წერტილების გადანაცვლება წლის განმავლობაში.

როგორც გამოთვლები გვიჩვენებს, მზის ნათების ხანგრძლივობის შესაძლებელი წლიური ჯამი აბასთუმანში—სრულიად ღია ჰორიზონტის შემთხვევაში— 4400 საათი იქნებოდა. არსებული რეალური ჰორიზონტის პირობებში კმზის ნათების შესაძლებელი წლიური ჯამი 3232 საათია, ე. ი. ჰორიზონტის დახურულობის გამო აბასთუმანი წლის განმავლობაში მზის ნათების 1168 საათს ჰყავიდეს.

მზის ნათების ხანგრძლივობის ნამდვილი წლიური ჯამი, Campbell-ის ჰელიოგრაფის მონაცემების თანახმად, აბასთუმანში უდრის საშუალო 1897 საათს, რაც შესაძლებელი ნათების (რეალური პორიზონტის მიხედვით) 59%-ი შეადგენს. ამ სიღილეების განაწილების სურათს წლის განმავლობაში I ცხრილი გვაძლევს.

ВЪВЕДЕНИЕ I ТАБЛИЦА

| | с 3 0 2 по м е с я цы | | | | | | | | | | | | |
|---|-----------------------|-----|-----|-----|-----|-----|-----|------|-----|-----|-----|-----|---------------|
| | I | II | III | IV | V | VI | VII | VIII | IX | X | XI | XII | Всего дней |
| Дни без солнца или суммы солнца | 290 | 294 | 364 | 394 | 445 | 449 | 456 | 426 | 370 | 340 | 292 | 280 | 4400 |
| Сумма солнца или солнца | 196 | 209 | 278 | 299 | 329 | 344 | 343 | 318 | 283 | 249 | 199 | 185 | 3233 |
| Потеря от закрытости горизонта | 94 | 85 | 86 | 95 | 116 | 105 | 113 | 108 | 87 | 91 | 93 | 95 | 1168 |
| Сияние солнца по гелио- графу | 81 | 89 | 155 | 155 | 192 | 205 | 223 | 243 | 193 | 176 | 103 | 83 | 1897 |
| Отношение действитель- ного сияния к возмож- ному в %/% | 41 | 43 | 56 | 52 | 58 | 60 | 65 | 76 | 68 | 71 | 52 | 45 | 59 |



၃. အပေါ်တူးမင်းက အပို့ရှုကြခိုးကျော်က စုစုပေါင်း ၈၀၁၂၅၄၉၆၅၇၅၈။

Съдържание

ამნაირად, ბასთუმანში ყველაზე მდიდარი თვე მზის ნათების მხრივ არის აგვი-სტო, ხოლო ყველაზე ღარიბი—იანვარი.

ცხრილი III-ის განხილვა გვიჩვენებს, რომ ნოემბრიდან თებერვლამდე, ნათელით, შეის ნათება შუადლემდე საერთოდ ნაკლებია, ვიდრე ნაშუადლევს, დანარჩენ თვეებში კი, მარტიდან ოქტომბრის ჩათვლით, პირიეთ, შუადლემდე ნათება მეტია, ვიდრე ნაშუადლევს. საერთო წლიურ ჯამებში, ნათება შუადლემდე 73 საათით (8%) მეტია ნაშუადლევისაზე (შუადლემდე 985 საათი, ნაშუადლევს 912 საათი). აღნიშნულ მოვლენათა მიზეზი შეიძლება იყოს ორი გარემოები: პირიზნონტის დაუურულობის განსხვავება აღმოსავლეთსა და დასავლეთს შორის და ღრუბლიანობის თავისებური განაწილება თოის განმარტივდაში.

განვიხილოთ ჯერ პორიზონტის დახურულობის სხვაობათა გავლენა. აღმოსავლეთის და დასავლეთის პორიზონტის მოხაზულობის შედარება გვიჩვენებს, რომ დასავლეთით პორიზონტი უფრო მეტად დახურულია აღმოსავლეთთან. შედარებით (ნახ. 1). აღმოსავლეთით დახურულობა ცვალებადობს 13° -დან 18.6° -მდე, ხოლო დასავლეთით 14° -დან 20.8° -მდე. ამ გარემოების გავლენას III ცხრილში შევამჩნევთ, თუ ერთმანეთს შევადარებოთ შუადლიდან სიმეტრიულად დაშორებული დილისა და საღამოს პირველ და უკანასკნელ საათიერ შუალედების მხის ნათებას. ასეთი შედარება გვიჩვენებს, რომ დილის პირველ შუალედში მხის ნათება თითქმის ყოველოვის მეტია, ვიდრე საღამოს უკანასკნელ შუალედისა. ამ სხვაობათა განხილვა გვიჩვენებს, რომ წლიურ შედეგში მთ შეეძლოთ შუადლებდე ნათების გადიდება ნაშუადლევთან შედარებით მხოლოდ $2^{\circ}/\text{o-თ}$.

360^о Ш ТАБЛИЦА

შე, აბასთუმანში XI—II თვეების პერიოდში მოღრუბლულობა შუადღემდე უდა სკარბობდეს ნაშუადღევის მოღრუბლულობას, ხოლო III—X თვეების პერიოდში პირიქით—ნაშუადღევის მოღრუბლულობა მეტი უნდა იყოს, ვიდრე შუადღემდე. ეს დასკვნა, რომელიც უშუალოდ მზის ნათების ცხრილების განხილვაშ გვიკარნახა, ეთანხმება თეორიულ მოსაზრებასც ღრუბლიანობის დღე-ღმურ და წლიურ მსვლელობის შესახებ². როგორც ცნობილია, ფენა სახის ღრუბების განხეორებათა მაქსიმუმი ღამით და დღით ხდება იმ დროს, როცა გრძელი გამისი მონათესავე სახის ღრუბლების მაქსიმუმს ნაშუადღევის საათები იღევა, რის გამოც შემჩნეულია ორი მაქსიმუმი: ერთი დილის, მეორე ნაშუადღების საათებში. წლის შედარებით ციფ პერიოდში, როდესაც ფენა სახის ღრუბები სკარბობენ, დღელამურ მაქსიმუმს აღვილი უნდა ჰქონდეს დილის საათებში ანუ შუადღემდე. წლის შედარებით თბილ პერიოდში—პირიქით, გრძოვა ცნისა მსგავსი ღრუბლები სკარბობენ და ამიტომ დღელამურ მაქსიმუმს ნაშუადღეს უნდა ჰქონდეს აღვილი.

მზის სხივები დედამიწის ატმოსფეროში გავლის დროს განიცდიან შესურებას. ეს შესუსტება დამოკიდებულია, ერთის მხრივ, იმ მანძილზე, რომელსამზის სხივები გამოივლიან ატმოსფეროში დაკვირვების ადგილამდე ანუ მზის სპალებზე ჰორიზონტიდან, მეორეს მხრივ, ატმოსფეროში არსებულ იმ ნაწილებზე, რომლებიც ამა თუ იმ სახით ყოველთვის მოიპოვებიან მასში.

ჩენ რომ საქმე გვქონდა ე. წ. იღეალურ ატმოსფეროსთან, ე. ი. ისე ატმოსფეროსთან, რომელიც შედგება მხოლოდ ჰაერში შემავალი მუდმივი გზების (აზოტი, ჟანგბადი, არგონი და სხვა) მოლეკულებისაგან, მაშინ მზის გარეულ სიმაღლეზე პორიზონტიდან, განსახლვრულ აღვილას, ყოველთვის მზი რაღაც კი ერთი და იგივე ინტენსივობა გვიქნებოდა, მიყვანილი მზე—დედიწის საშუალო მანძილზე. მაგრამ რაღაც დედამიწის რეალური ატმოსფერი წარმოადგენს ნარევს, შედგენილს სენინგბული მუდმივი გაზებისა და ცვალებად ნაწილისაგან, რომელშიც შედის. წყლის ორთქლი, მტვერი, კვამლი და სხვ. ამიტომ მზის რაღაც კი ინტენსივობა განიცდის დამატებით შეისტებას, რომელიც დამოკიდებულია სენინგბული ცვალებადი ნაწილის რაოდენობასა და ოვესებებზე. ამნაირად მზის რაღაც კი იღწევს-რა დედამიწის ზედაპირამდე, წარმოადგენს ერთგვარ მაჩვენებელს იმისა, თუ რა რაოდენობით შეიცავს ატმოსფერი მოცუმულ პირობებში სენინგბულ ცვალებად ნაწილს; ანუ შეიძლება ითქვაოს რომ მზის სხივები ოპტიკური ზონდის როლს ასრულებენ დედამიწის ატმოსფერში.

გარდა ატმოსფეროს მდგომარეობისა და მზის სიმაღლისა, რადიაციის ინტენსივობაზე გარეშე გავლენას ხდებს აგრეთვე მზისა და დედამიწის ჟორნის მანძილის ცვალებადობაც, რასაც ადგილი აქვს წლის განჩავლობაში: მაგრამ ეს ცვალებადობა პერიოდულია და შესწორება მასზე ყოველთვის ზუსტად ხორციელდება.

შეაძლება გვაძლევს წარმოდგენა ვიქონიოთ ატმოსფეროს არსებულ მდგომარეობაზე, მაგრამ სხვადასხვა დროსა და ადგილას გაზომილი რაციაციის ინტენსივობა საშუალების

სივრცა არ იძლევა თვალსაჩინოდ ატმოსფეროს მდგომარეობის ობიექტზე შეფასებას, ატმოსფეროს მდგომარეობის შესაფასებლად შემოღებულია ე. წ. ატმოსფეროს გამჭვირვალობის კოეფიციენტი, რომელიც გვიჩვენებს, თუ მზის რადიაციის რა ნაწილი მოვიდოდა დაკვირვების ადგილის ატმოსფეროს ერთი მასის გავლის შემდეგ. ატმოსფეროს მასის ერთეულად მიღებულია ის ფენა, რომელსაც სხივები გაიკლიან ატმოსფეროს ზედა საზღვრიდან ზღვის დონემდე მზის ზენიტში დგომის დროს.

ატმოსფერის გამჭვირვალობის კოეფიციენტი გამოითვლება Lambert-Bouger-ის ფორმულით:

$$I_m = I_0 p^m \quad (1)$$

სადაც I_m — რაღიაცის ინტენსივობაა დაკვირვების ადგილას, I_0 — მზის მუდმივი ანუ რაღიაცის ინტენსივობა დედამიწის ატმოსფეროს საზღვარზე, m — ატმოსფეროს მასა, რომელსაც მზის სხივები დაკვირვების დროს გაივლიან და ρ — გამჭვირვალობის კოეფიციენტი.

შემჩნეულ იქნა, წომ (1) ფორმულით გამოთვლილ გამჭვირვალობის კო-
ეფიციენტს ჩ-ს საგრძნობი ვირტუალური სკორა ახასიათებს; m მასის ზრდას-
თან ჩ-ც იზრდება, ამიტომ 1921 წელს Link e-ს³ შინაღადადებით, ატმოსფე-
როს მდგომარეობის შესაფასებლად შემოღებულ იქნა ე. წ. სიმღერივის ფაქ-
ტორი, რომელიც გამოითვლება Lambert-Bouygues-ის ფორმულის მოდი-
ფიცირებული გამოხატულების საშუალებით:

$$J_\alpha \equiv J_\alpha g_\alpha^{mT} \quad (2)$$

სადაც I_m , I_0 და m -ს იგრევე მნიშვნელობები აქვს, რაც (1) ფორმულაში, ხოლო q_m იდეალურ ატმოსფეროს გამჭვირვალობის კოეფიციენტია შესაბამი თ-სათვის, T კი—სიმღრივის ფაქტორი, რომლის რიცხვობრივი სიღილე გვიჩვენებს, თუ რამდენი იდეალური ატმოსფეროთი უნდა შეიცვალოს რეალური ატმოსფერო, რომ მზის სხვავიბის შესუსტება უცვლელი დარჩეს.

ფიქრობდნენ, რომ (2) ფორმულით გამოვლილი სიმღვრივის ფაქტორი თავისუფალი იქნებოდა ვირტუალური სელისაგან, მაგრამ გამოიჩკა, რომ მასაც ასასიათებს გარეკვეული ვირტუალური სელა⁴, ხოლო არა იმდენად მნიშვნელოვანი, როგორც გამჭვირვალობის კოეფიციენტის. მიმტომ ბოლო ხანებში ატმოსფეროს მდგომარეობის შესაფასებლად უმთავრესად სიმღვრივის ფაქტორი გამოჰყოვთ. აბასთუმნისათვის ჩვენ თრივე ინდექსი გამოვთვალეთ (T და R), რაც უშუალო შედარების საშუალებას იძლევა იმ შემთხვევაშიაც, როცა რომელიმე რიზონტისათვის გამოქვეყნებულია ერთ-ერთი მათგანი. ამ ინდექსების გამოვთვალით გადაიდინა გარეკვეული მომენტი, როცა მზის სიმაღლე პლისათვის ჩვენ მიერ შერჩეულ იქნა ის მომენტი, როცა მზის სიმაღლე რიზონტიდან 19.3° -ის ტოლია. ცხადია, ასეთი მომენტი დღის განმავლობაში როგორ არის: შუადღემდე და ნაშუადღემს. სინებული მომენტის შესაბამისი მზის რიციაციის ინტენსივობის საშუალო თვიური სიდიდეები, როგორც საერთო საშუალოთა სახით, ისე შუადღემდე და ნაშუადღემისათვის (კალ-ცალკე), IV ცხრილში არის მოცემული.

ВЪРОГъ IV ТАБЛИЦА

ამ ცხრილში მოყვანილი სიღილეების საშუალებით ჩვენ გამოვთვალეთ და $T(1)$ და (2) ფორმულებით. გამოთვლისათვის საკიროა, რომ დაკირქები-დან მიღებული რაღიაცის ინტენსივობანი მივიყვანოთ მზე—დედამიწის საშუა-ლო მანძილზე. ეს აუცილებელია იმიტომ, რომ (1) და (2) ფორმულებში I_0 მზე—დედამიწის საშუალო მანძილისათვისაა მიღებული.

$$I^* = I \left(\frac{R}{R_o} \right)^2 \quad (3)$$

საღაც I^* მზე—დედამიწის საშუალო მანძილზე მოყვანილი, ხოლო I —დაკირკვებიდან მიღებული მზის რადიაციის ინტენსივობაა, R —მანძილი დედამიწიდან მზემდე შესაბამ მომენტისათვის, R_0 —დედამიწისა და მზეს შორის საშუალო მანძილი. IV ცხრილში მოყვანილი სიდიდეები, გარდაქმნილი (3) ფორმულის საშუალებით, მოცემულია V ცხრილში.

Съдържание в таблица

შეის მუდმივისათვის I_0 მიღებული გვერდა მნიშვნელობა: $1.83 \text{ gr} \cdot \text{cm}^{-2} \cdot \text{min}^{-1}$. ატმოსფეროს მასა კი $m = 2.59$ -ის ტოლად ჩავთვალეთ, თუმცა ჩვენს მომენტს, მ. ა. როცა $k_s = 19.3^\circ$ *Temporad*-ის ცხრილის მხხედვით $m = 3.0$ შეესაბამე-

ბა, მაგრამ როგორც ცნობილია, *Be m p o r a d*-ის ცხრილი შედგენილია ატ-
მოსფეროს ნორმალური წნევისათვის (760 mm), ხოლო აბასთუმნის ატმოსფე-
როს წნევა მნიშვნელოვნად განსხვავდება ნორმალური წნევისაგან; ამიტომ (1)
რომ წნევა მნიშვნელოვნად განსხვავდება ნორმალური წნევისაგან; ამიტომ (1)
და (2) ფორმულებში m აღებულ იქნა არა 3.0, არამედ სათანადო შესწორე-
ბით აბასთუმნის წნევის საშუალო მრავალწლიური მნიშვნელობის⁵ მიხედვით
(656 mm), რისთვისაც ვისტრგებლეთ დამოკიდებულებით:

$$m = m_0 \frac{B_h}{B_0} \quad (4)$$

სადაც m_0 მზის მოცულები სიმაღლის შესაბამი ატმოსფეროს მასაა ნორმალური წნევისათვის, B_0 —ატმოსფეროს ნორმალური წნევა (ზღვის დონეზე), B_t —წნევა დაკვირვების პდგილზე და m —სათანადოდ შესწორებული ატმოსფეროს მასა. ასეთმა გამოთვლამ მოგვცა $m = 2.59$.

ЗАКОНОДАТЕЛЬСТВО VI ТАБЛИЧА

სიმღერივის ფაქტორის გამოთვლისათვის (2) ფორმულაში იდეალური ატ-
მოსფეროს გამჭვირვალობის კოეფიციენტი q_m აღებულია $F_{eussner-D}$ ა-
ბის 6 მონაცემების თანახმად (ჩერნ შემთხვევაში $q_{m,6} = 0.9185$). სიმღერი-
ვის ფაქტორის (T) მიღებული მნიშვნელობები მოცემულია VII ცხრილში.

Звено VII ТАБЛИЦА

ცნობილია, რომ ატმოსფეროს სიმღრივის მთავარსა და ოვალსინი აგნტის წარმოდგენის მასში არსებული წყლის ორთქლი და მტკერი. მიტო სიმღრივის ფაქტორის მნიშვნელობა ერთსა და იმავე მასისათვის შუადღემზე თითქოს უფრო მცირე უნდა იყოს, ვიდრე ნაშუადღევს, რადგანაც ნორმალურ შემთხვევაში ატმოსფეროში წყლის ორთქლი და მტკერიც ნაშუადღევს უფრო მეტი უნდა იყოს. მაგრამ, როგორც არსებული მასალები გვიჩვენებს, ეს საჭრ. თო მოსაზრება ყოველთვის და ყოველგან არ მართლდება. საბჭოთა ქავშირის 9 აქტინომეტრული სადგურის მასალების განხილვის საფუძველზე განვითარებული საზოგადოებრივი მნიშვნელობანი შუადღემზე უფრო მცირეა ნაშუადღეთან შედარებით, თუმცა ზოგი ერთი სადგურები ზოგ შემთხვევაში არ ემორჩილებიან ამ საერთო წესს და სხვა დასხვანაირად ცვალებადობს, რაც, ალბათ, უმთავრესად ადგილობრივ პირობებში დამოკიდებულია. ასეთივე, თუ შეიძლება ითქვას, გამონაკლისს ექვთვის აბასთუმანიც. როგორც VII ცხრილიდან ვხედავთ, სიმღრივის ფაქტორის საშუალო წლიური მნიშვნელობა შუადღემდე ($T=2.35$) მეტია, ვიდრე ნაშუადღეს ($T=2.25$). ცალკეული თვეების მიხედვით კი შემდეგი სურათია: იანვარში მისი მნიშვნელობა შუადღემდე ნაკლებია ნაშუადღევისაზე, თებერვალსა და მარტში მათი მნიშვნელობანი ტოლია, ხოლო აპრილიდან მთელი წლის განმავლობაში შუადღემდე მეტია, ვიდრე ნაშუადღევს. სიმღრივის ფაქტორის დღის განვითარებაში ასეთი ცვალებადობის მიზეზი ქარის მიმართულება აბასთუმანში სავსებით ემორჩილება მთის ქარის დღიურ მსვლელობს; დღის 9 საათიდან შუადღის 2 საათამდე გაბატონებულია სამხრეთ-დასავლეთის ქარი, ე. ი. ქრის დაბლიდან ზევით, ხოლო დანარჩენ საათებში ზევიდან ჰქონდეთ⁸. დღის პირველ ნახევარში, ქრის-რა ჰქონდეთ ზევით (SIV ან S), ქრის ზევსლია შემოტანოს აბასთუმანში—ახალციხის ტაფობიდან და მისი მიღამობიდან—მეტი მტკერი შედარებით იმ ქართან, რომელიც ნაშუადღევს უბერავს მთებიდან, სადაც მტკერიანობა ნაკლებია.

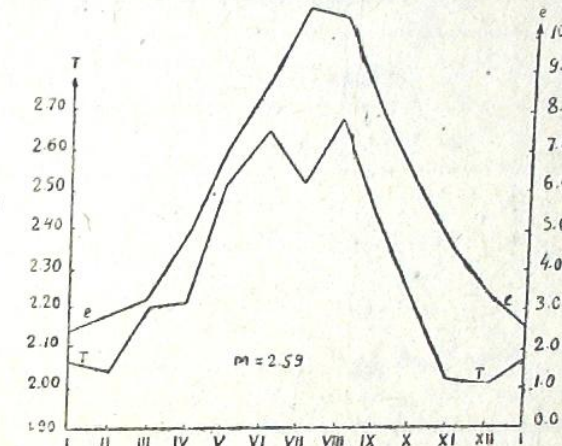
სიმღრივის ფაქტორის წლიური მსვლელობის (მე-3 სტრიქონი) ანალიზი გვიჩვენებს, რომ აბასთუმანში ატმოსფეროს სიმღრივის მაქსიმუმს ზაფხულში აგვისტოში—აქვს ადგილი, ხოლო მინიმუმს კი ზამთარში—დეკემბერში, რაც მთავარი აგნტია სიმღრივისა—მაქსიმალური რაოდენობით ატმოსფეროში სწორეთ ზაფხულშია, ხოლო მინიმალური რაოდენობით კი ზამთარში. წლიური მსვლელობის თვალსაზრისით აბასთუმნის ატმოსფეროს სიმღრივეს ერთგვარი თვეისებურება ახასიათებს. ვიდრე ამ თავისებურებას განემარტავდეთ, განვიხილოთ სიმღრივის ფაქტორის წლიური მსვლელობის დამოკიდებულება აბსოლუტური სინოტივის წლიურ მსვლელობასთან. ცნობილია, რომ სიმღრივის ფაქტორის წლიური მსვლელობა საქმიანობით მიჰყება აბსოლუტური შეძლება იქნას დაცული, რადგან ატმოსფეროს სიმღრივეზე, მასში მყოფი წყლის ორთქლის გარდა, მნიშვნელოვან გავლენას მტკერიანობაც ახდენს. გარ-

გურორტ აბასთუმნის აქტინომეტრული დაზარისათვების

137

და მისა, დაკვირვების ადგილას გაზომილი აბსოლუტური სინოტივე საქმიან სიუსტეთ ერთ ახასიათებს ატმოსფეროში არსებული წყლის ორთქლის რაოდენობას.

ნახ. 2 გვიჩვენებს, თუ როგორ ურთიერთობაშია სინოტივისა და სიმღრივის წლიური სელა აბასთუმანში:



ნახ. 2 ცერტ.

როგორც ზევითაც აღვნიშეთ, სიმღრივის ფაქტორის მინიმუმი აბასთუმანისათვის დექემბერში მივიღეთ. აბსოლუტური სინოტივის მინიმუმი კი იანვარნისათვის მივიღეთ თვეში გადაადგილებულა. ასეთსავე გადაადგილებას შია. ე. ი. იგი მეზობელ თვეში გადაადგილებულა. ასეთსავე გადაადგილებას აქვს ადგილი მაქსიმუმისათვის: აბსოლუტური სინოტივის მაქსიმუმი ივლისშია, ასებით სიმღრივის ფაქტორისა—აგვისტოში.

სიმღრივის ფაქტორსა და აბსოლუტურ სინოტივეს შორის დამოკიდებულების გამოსარევებად ჩვენ გამოეთვალეთ მათი კორელაციის კოეფიციენტი და ლების გამოსარევებად ჩვენ გამოეთვალეთ მათი კორელაციის კოეფიციენტი და მივიღეთ $r = 0.903 \pm 0.036$. r -ის ასეთი დიდი მნიშვნელობა მაჩვენებელია იმისა, რომ აბასთუმანში ატმოსფეროს სიმღრივის მთავარი აგნტი არის მასში არა რეალური მტკერიანობა, მისი სიმცირის გამო, მეორე სებული წყლის ორთქლი, ხოლო მტკერიანობა, მისი სიმცირის გამო, მეორე ხარისხოვანია.

როგორც ნახ. 2-ზე ვხედავთ, სიმღრივის ფაქტორის მსვლელობას ზაფხულში ერთგვარი თავისებურობა ახასიათებს. სიმღრივის ფაქტორის ხულის თვეებში ერთგვარი თავისებურობა ახასიათებს. სიმღრივის ფაქტორის ხულის თვეებში ერთგვარი თავისებურობა ნორმალურად ჩაითვალოს. მართალია, აბსოლუტური სინოტივის მაქსიმუმი ივლისშია, მაგრამ, მტკერიანობა აგვისტოში აქტინომეტრული მეტი უნდა იყოს წინა თვეებთან შედარებით, რადგან მას მეტი სიმშეცვებული აბასთუმნის და ამის გარდა ამ დროს, შუა სეზონთან დაკავშირებით, მრავალ ახასიათებს და ამის გარდა ამ დროს, შუა სეზონთან დაკავშირებით, მოძრაობაც მეტია და ქუჩის მტკერიანი. ერთგვარ გაუგებრობას ზევებს ის გამორჩევა, რომ ივლისში ატმოსფეროს სიმღრივე ნაკლებია, ვიდრე მასშია დარემოვანი. ჩვენ ევლადეთ ამ მოელენის მიზეზში გვეძია გარეუბნებიდან შემოტანისში. ჩვენ ევლადეთ მასში მყოფი

ნილ მტერზე, რაც, რასაკვირველია, დაკავშირებული იქნება გაბატონებულ
ქარების მიმართულებასთან. ამიტომ ჩვენ განვიხილეთ ქარების განაწილება ბატკ
თუმანიში, რაც დახასიათდება VIII ცხრილის მონაცემებით.

Съдържание VIII ТАБЛИЦА

| Հայոց Յօթեր- օշողիք Հայոց Վեպր | Ե Յ Յ Յ Յ Յ Մ Ե Ս Ա Կ Ա Կ Ա | | | | | | | | | | | |
|--------------------------------------|-----------------------------|----|-----|----|----|----|-----|------|----|----|----|-----|
| | I | II | III | IV | V | VI | VII | VIII | IX | X | XI | XII |
| N . . | 22 | 15 | 20 | 27 | 25 | 28 | 28 | 25 | 25 | 21 | 17 | 21 |
| NE . . | 5 | 6 | 10 | 10 | 12 | 12 | 13 | 16 | 15 | 11 | 9 | 9 |
| E . . | 0 | 3 | 2 | 2 | 2 | 3 | 2 | 2 | 2 | 3 | 3 | 2 |
| SE . . | 5 | 6 | 7 | 8 | 5 | 5 | 4 | 5 | 5 | 5 | 6 | 2 |
| S . . | 36 | 38 | 36 | 28 | 29 | 28 | 27 | 28 | 32 | 36 | 38 | 32 |
| SW . . | 24 | 23 | 20 | 15 | 15 | 10 | 11 | 11 | 12 | 16 | 24 | 27 |
| W . . | 3 | 3 | 0 | 0 | 2 | 2 | 2 | 2 | 2 | 3 | 0 | 3 |
| NW . . | 5 | 6 | 5 | 10 | 10 | 12 | 13 | 11 | 7 | 5 | 3 | 3 |

სიმღვრივის ფაქტორის წლიური მსგლელობის აღნიშვნულ თავისებურობის მიზნით საბოლოოდ გამორკვეულად არ შეიძლება ჩითვალოს.

არსებოლ დაკვირვებათა მასალებიდან მიღებული იქნა გრაფიკული ხერ-
ხით შეის პირდაპირი ჩადიაცის დაძაბულობის საშუალო დღიური მსელელო-
ბა მოწმენდილი ცის შემთხვევაში. ხსნებული მონაცემები ცალკეული თვეების
მიხედვით მართობი და პორტიზონტული ზედაპირისათვის მოყვანილია IX და X
ცხრილებში.

Съ60^о IX ТАБЛИЦ

| сезон Месяцы | | Б а б т ю д о — ч а с ы | | | | | | | | | | | |
|-----------------|---|-------------------------|------|------|------|------|------|------|------|------|------|------|------|
| | | 6 | 7 | 8 | 9 | 10 | 11 | 12 | 13 | 14 | 15 | 16 | 17 |
| I. | . | | | | 1.10 | 1.26 | 1.34 | 1.37 | 1.35 | 1.29 | 1.16 | | |
| II. | . | | | | 1.23 | 1.34 | 1.40 | 1.42 | 1.41 | 1.38 | 1.28 | 1.08 | |
| III. | . | 0.80 | 1.14 | 1.30 | 1.39 | 1.45 | 1.48 | 1.47 | 1.42 | 1.35 | 1.21 | 0.92 | |
| IV. | . | 1.07 | 1.25 | 1.35 | 1.41 | 1.45 | 1.48 | 1.46 | 1.44 | 1.39 | 1.30 | 1.14 | |
| V. | . | 1.13 | 1.26 | 1.33 | 1.38 | 1.41 | 1.42 | 1.42 | 1.40 | 1.36 | 1.29 | 1.16 | |
| VI. | . | 0.90 | 1.11 | 1.23 | 1.30 | 1.35 | 1.37 | 1.38 | 1.38 | 1.36 | 1.33 | 1.27 | 1.16 |
| VII. | . | 0.89 | 1.09 | 1.21 | 1.28 | 1.33 | 1.35 | 1.37 | 1.37 | 1.35 | 1.32 | 1.26 | 1.15 |
| VIII. | . | | 1.02 | 1.18 | 1.26 | 1.31 | 1.35 | 1.36 | 1.35 | 1.32 | 1.27 | 1.19 | 1.07 |
| IX. | . | 0.94 | 1.15 | 1.25 | 1.31 | 1.34 | 1.36 | 1.35 | 1.32 | 1.27 | 1.17 | | |
| X. | . | | 1.11 | 1.25 | 1.33 | 1.38 | 1.40 | 1.38 | 1.33 | 1.23 | 1.03 | | |
| XI. | . | | 1.02 | 1.22 | 1.32 | 1.37 | 1.38 | 1.35 | 1.27 | 1.11 | | | |
| XII. | . | | | 1.11 | 1.26 | 1.33 | 1.36 | 1.33 | 1.25 | 1.10 | | | |

ЗБІРОВОХ ТАБЛИЦ.

| Месяцы | Сентябрь-октябрь | | | | | | | | | | | |
|------------|------------------|------|------|------|------|------|------|------|------|------|------|------|
| | 6 | 7 | 8 | 9 | 10 | 11 | 12 | 13 | 14 | 15 | 16 | 17 |
| I . . . | | | | 0.27 | 0.45 | 0.56 | 0.62 | 0.58 | 0.48 | 0.32 | | |
| II . . . | | | | 0.41 | 0.60 | 0.74 | 0.83 | 0.79 | 0.67 | 0.49 | 0.28 | |
| III . . . | 0.13 | 0.36 | 0.62 | 0.86 | 1.01 | 1.08 | 1.04 | 0.92 | 0.71 | 0.46 | 0.21 | |
| IV . . . | 0.34 | 0.61 | 0.85 | 1.04 | 1.17 | 1.24 | 1.18 | 1.05 | 0.86 | 0.61 | 0.34 | |
| V . . . | 0.48 | 0.73 | 0.95 | 1.13 | 1.25 | 1.31 | 1.25 | 1.13 | 0.94 | 0.71 | 0.45 | |
| VI . . . | 0.25 | 0.50 | 0.74 | 0.95 | 1.13 | 1.25 | 1.30 | 1.25 | 1.14 | 0.97 | 0.77 | 0.53 |
| VII . . . | 0.21 | 0.45 | 0.69 | 0.92 | 1.10 | 1.22 | 1.28 | 1.24 | 1.14 | 0.97 | 0.76 | 0.51 |
| VIII . . . | 0.35 | 0.61 | 0.83 | 1.01 | 1.13 | 1.19 | 1.14 | 1.02 | 0.85 | 0.64 | 0.40 | |
| IX . . . | 0.24 | 0.48 | 0.71 | 0.90 | 1.02 | 1.07 | 1.01 | 0.88 | 0.70 | 0.47 | | |
| X . . . | | | | 0.34 | 0.57 | 0.76 | 0.88 | 0.92 | 0.83 | 0.68 | 0.46 | 0.23 |
| XI . . . | | | | 0.17 | 0.39 | 0.56 | 0.66 | 0.68 | 0.61 | 0.47 | 0.29 | |
| XII . . . | | | | 0.29 | 0.43 | 0.54 | 0.58 | 0.52 | 0.41 | 0.26 | | |

ამ ცხრილებში შეიძლება ყურადღება მიიქციოს იმ გარემოებამ, რომ უმ-
რავლეს შემთხვევაში ნაშუადღევის დაძაბულობანი ნაწილობრივ სკარბობზენ და-
ძაბულობებს შეადღინდე, რაც ატმოსფეროს სიმღვრივის უკვე აღნიშნული ცელი-
ლებებით ირის გამოწვეული. რადიაციის დაძაბულობის დღიური მსვლელობის

გარდა, ადგილის ქუთხოსმეტრული დახსიათებისათვის ყურადღების ღირსა აგრეთვე დაძაბულობანი ჰეშმარიტ შუალლეზე, ე. ი. მაშინ, როდესაც მწე ადგილობრივ მერიიდანსაც. ასეთი მონაცემები იძისთუმნისათვის საშუალო თვეურების სახით, ორივე ზედაპირისათვის, მოყვანილია XI ცხრილში.

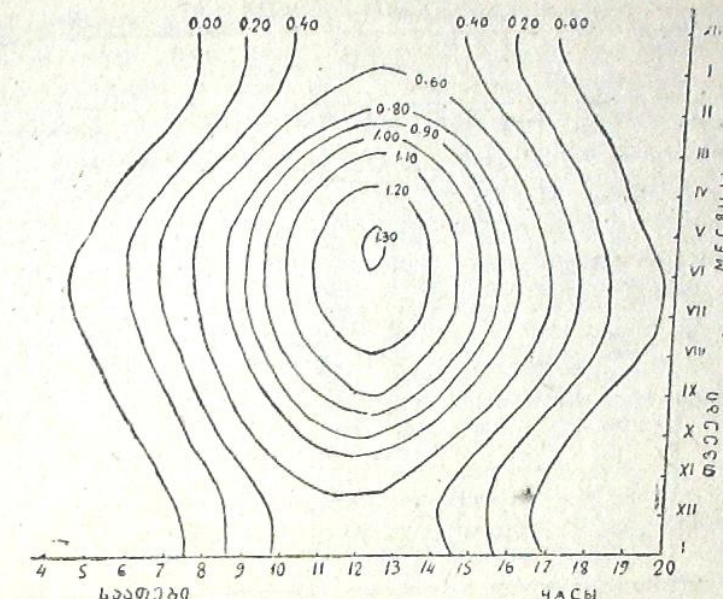
ОБЩЕСТВО XI ТАБЛИЦА

როგორც ამ ცხრილიდან ჩანს, რადიაციის დაძაბულობის მაქსიმუმს მართვის ზედაპირზე მარტში აქვს ადგილი. თითქოს მოსალოდნელი იყო, რომ მაქსიმუმი ივნისში ჰქონდა ადგილი, რადგან მზეს ამ დროს ჰორიზონტიდან უდიდესი სიმაღლე აქვს. მაგრამ მზის რადიაციის დაძაბულობის სიღიდუეზე, მზის სიმაღლის გარდა, დიდი გავლენა აქვს ატმოსფეროს სიმღერივეს, განსაკუთრებით კრწლის ორთქლის რაოდენობას მასში. მარტში მზის სიმაღლე ჰორიზონტზე საქმიანდ დიდია, სინოტივე კი წინა თვეებთან შედარებით მნიშვნელოვნად არაა გადაიდებული (ნახ. 2), ამიტომ რადიაციის დაძაბულობის მაღალი მნიშვნელობა ამ დროს გასაგებია. მარტიდან ივნისამდე, მართალია, მზის სიმაღლე მატულობს, მაგრამ აბსოლუტური სინოტივე გაცილებით მკეთრად იზრდება, რაც იწვევს რადიაციის დაძაბულობის შემდგომ დაცემის (ქვემარიტ შუადღეზე). ჰორიზონტულ ზედაპირზე მსგავსი მონაცემების მსულელობა კი საკმაოდ თანაბრად მიჰყება მზის საშუალეო სიმაღლის ცვალებადობას წლის განმავლობაში.

ისლება გვერდეს რადიაციის დაძულობის რომელიმე ღლებული სიდიდე წლის
ამათური პერიოდში, განსაკუთრებით ჰორიზონტულ ზედაპირზე. ამგვარი მონა-
ცემების წარმოდგენა იზოპლეტების საშუალებით შეიძლება. ეჭვე ვათავსებოთ
რადიაციის დაძულობების იზოპლეტებს ჰორიზონტული ზედაპირისათვის, რაც
ამასთურნის აქტინომეტრული მონაცემების საფუძველზეა გებული (ნახ. 3).

Сърцемълъжъ съ XII и XIII монети създава също този възможност за използване на злато във външните обменни операции.

145 სუებიდ თადიაციის ნამდვილ სითბურ ჯამებს, ესენი მოგვყავს ცხრილებში XIV და XV, რომელნიც ისევე არან აგებული და რომელთაგან პირველი მზის სხივების მართობას, ხოლო მეორე პორტიზონტულ ზედაპირს შეესა



Бюл. 3 Черт

Съмнение XII ТАБЛИЦА

გამება. ამ არი ცხრილის მონაცემები გამოთვლილია ცნობილი მეთოდით „აქტინომეტრი – ძელიოგრაფი“.

ОБНОВО ХІІІ ТАБЛИЦА

| Б а б т ы д о - ч а с ы | | | | | | | | | | | | | | |
|-------------------------|-----|------|------|-------|-------|-------|-------|-------|-------|-------|-------|-------|-------|-----|
| С е с с и я Месяц | 5—6 | 6—7 | 7—8 | 8—9 | 9—10 | 10—11 | 11—12 | 12—13 | 13—14 | 14—15 | 15—16 | 16—17 | 17—18 | |
| | | | | | | | | | | | | | | |
| I . . . | | | | 140 | 688 | 949 | 1116 | 1135 | 1004 | 763 | 290 | | | |
| II . . . | | | | 403 | 840 | 1142 | 1327 | 1378 | 1243 | 991 | 655 | 19 | | |
| III . . . | 21 | 179 | 930 | 1395 | 1767 | 1953 | 1972 | 1841 | 1525 | 1097 | 372 | | | |
| IV . . . | 74 | 864 | 1314 | 1710 | 2016 | 2196 | 2196 | 2034 | 1746 | 1350 | 864 | 58 | | |
| V . . . | 551 | 1135 | 1562 | 1953 | 2232 | 2399 | 2399 | 2232 | 1934 | 1562 | 1097 | | | 21 |
| VI . . . | 83 | 684 | 1116 | 1530 | 1890 | 2142 | 2304 | 2304 | 2160 | 1908 | 1584 | 1170 | | 363 |
| VII . . . | 12 | 614 | 1060 | 1507 | 1897 | 2176 | 2344 | 2362 | 2232 | 1972 | 1618 | 1190 | | 554 |
| VIII . . . | 173 | 893 | 1358 | 1730 | 2009 | 2176 | 2176 | 2027 | 1748 | 1395 | 967 | 646 | | |
| IX . . . | 46 | 491 | 1080 | 1458 | 1746 | 1890 | 1890 | 1728 | 1440 | 1062 | 369 | | | |
| X . . . | | 270 | 856 | 1246 | 1544 | 1693 | 1637 | 1414 | 1060 | 551 | | | | |
| XI . . . | | | 486 | 864 | 1116 | 1206 | 1170 | 972 | 684 | 101 | | | | |
| XII . . . | | | 151 | 688 | 911 | 1060 | 1042 | 874 | 632 | 93 | | | | |
| Год | 95 | 2162 | 6007 | 11315 | 16360 | 19750 | 21664 | 21660 | 19762 | 16404 | 11359 | 6147 | 1671 | |

ՅԵԽՈՎՅՈ XIV ՏԱՅԼԻԱ

օթ Աերոլոցիս ցանեօլցա ցըսիցնեցիս, հռմ գլու Տորցըլո նաեցրու Տորցըլո նաեցրու (Ցյա-
ցըլո ամբողջ սկարծութեան գլու Մշորո նաեցրու Տորցըլո նաեցրու (նամյագլուց) չամցիս.
Տեղատա Մըսօմըլքըլ չամեթո 2% մը Մըսօմըլքըլ նամցու Տորցըլո նամցու չամեթո

6% - ს. შესაძლებელი ჯამების შუაღლის მიმართ განაწილებაზე გავლენა შეგძლო
მოხედინა მხოლოდ ატმოსფეროს სიმღვრივის შესაფერ ცვალებადობას და ოე-
ალური ჰორიზონტის მოხაზულობას. აბასთუმანში შესაძლებელი ჯამების ეს
სხვაობა აშკარად ჰორიზონტის მოხაზულობითა გამოწვეული (დასავლეთი უფ-
რო შეტად დახურულია, ვიდრე აღმოსავლეთი), რაღაც ატმოსფეროს სიმ-
ღვრივის შესატყვისი შედარება შეტრუნქბულ სურათს გვაძლევს, ე. ი. ჰორი-
ზონტის მოხაზულობის თანაბარ პირობებში ნაშუაღლების ჯამები უფრო მეტი
უნდა ყოფილიყო, ვიდრე ჯამები შუაღლები. რაც შეეხება სხვაობას რადია-
ციის დილისა და ნაშუაღლების ნამდვილ სითბურ ჯამებს შორის, აქ ძალაში
რჩება ზემოხსენებული ორი ფაქტორი და მათ ემატება კიდევ მესამე ელემენ-
ტის გავლენა, სიხელდობრ, მზის ნათების ხანგრძლივობის დღიური განაწილე-
ბის გავლენა, რაც უფრო ძლიერებს არსებულ სხვაობას და მიჰყავს იგი 6% -
მდე.

СЪБОДНО XV ТАБЛИЦА

| Б а с ы 9 д о — ч а с и | | | | | | | | | | | | | |
|-------------------------|-----|-----|------|-------|-------|-------|-------|-------|-------|-------|-------|-------|-------|
| №32360 Мечник | 5—6 | 6—7 | 7—8 | 8—9 | 9—10 | 10—11 | 11—12 | 12—13 | 13—14 | 14—15 | 15—16 | 16—17 | 17—18 |
| I . . . | | | | 22 | 186 | 416 | 562 | 553 | 470 | 278 | 17 | | |
| II . . . | | | | 76 | 342 | 551 | 664 | 694 | 559 | 407 | 173 | 2 | |
| III . . . | 2 | 161 | 447 | 801 | 1077 | 1241 | 1189 | 1040 | 827 | 559 | 156 | | |
| IV . . . | 20 | 340 | 653 | 975 | 1149 | 1274 | 1222 | 1037 | 879 | 637 | 354 | 11 | |
| V . . . | 160 | 692 | 1028 | 1323 | 1505 | 1571 | 1447 | 1274 | 992 | 776 | 439 | 70 | |
| VI . . . | 4 | 262 | 673 | 1000 | 1241 | 1421 | 1498 | 1413 | 1303 | 1043 | 919 | 628 | 253 |
| VII . . . | 2 | 246 | 687 | 1035 | 1340 | 1523 | 1671 | 1623 | 1440 | 1240 | 971 | 672 | 169 |
| VIII . . . | 89 | 605 | 1077 | 1440 | 1659 | 1797 | 1776 | 1596 | 1314 | 968 | 596 | | 49 |
| IX . . . | 7 | 342 | 731 | 1064 | 1280 | 1411 | 1386 | 1192 | 926 | 637 | | 273 | |
| X . . . | | 64 | 500 | 917 | 1150 | 1267 | 1214 | 985 | 701 | 386 | | 32 | |
| XI . . . | | | 63 | 334 | 629 | 712 | 663 | 535 | 342 | 76 | | | |
| XII . . . | | | 6 | 133 | 394 | 561 | 585 | 502 | 235 | 2 | | | |
| Всего- Год | 6 | 786 | 3564 | 6639 | 10096 | 12755 | 14227 | 13766 | 11933 | 9184 | 6121 | 3152 | 554 |
| | | | | 48073 | | | | | | 44710 | | | |

XVI ცხრილში მოცემულია მზის რადიაციის დღიური შესაძლო და ნამ-
ულო ამონტი ორივე წერტილისათვის.

დფილ ჯავახის მიერ უკავშირო და უძლიერი განვითარების წლიური
როგორც პატიოლოგიურ გენერაცია, დღიური შესაძლო ჯამების წლიური
სერა თანაზომიერად გამჭვება დღის ხანგრძლივობის წლიურ სელას (ანუ მზის
დახრილობის წლიურ სელას); მაქსიმუმი მას იყნის ში აქცეს. და მინმუმი — დე-
კიბურში.

რაც შეეხბა ნამდვილ დღიურ სიობურ ჯამებს, — ემატება-რა ღრუბლია-ნობის წლიური სკლის გაელენაც, — მათი მაქსიმუმი აგვისტოში გადადის, მინი-

Съдържание XVI ТАБЛИЦА

მუმი კი მართობა ზედაპირისათვის მოდის იანვარზე, ხოლო პორიზონტული ზედაპირისათვის რჩება დეკომპინგში.

დახლოებით ასეთსავე სურათს იძლევა რადიაციის ჯამების წლიური სვლა (ცხრილები XVII და XVIII). შესაძლებელი ჯამების მაქსიმუმი მართობ ზედაპირზე მაისშია, პორიზონტულ ზედაპირზე—ივნისში, მინიმუმი კი ორივე ზედაპირისათვის დეკემბერშია. ნამდვილი ჯამების მაქსიმუმი ორივე ზედაპირისათვის იგვისტოშია, მინიმუმი კი მართობ ზედაპირზე იანვარში, ხოლო პორიზონტულ ზედაპირზე დეკემბერში.

Збірник XVII таблиця

| с в о з д о м е с я ц и | | | | | | | | | | | | | |
|---|-------|-------|-------|-------|-------|-------|-------|-------|-------|-------|-------|-----------------------|--------|
| I | II | III | IV | V | VI | VII | VIII | IX | X | XI | XII | Укру Паспор Год | |
| Земельное хозяйство. Возможные суммы | 16307 | 17480 | 22507 | 25133 | 27612 | 27218 | 27361 | 24680 | 21289 | 20388 | 16686 | 15289 | 26194 |
| Благоустройство хозяйства. Действит. суммы | 6333 | 7192 | 12709 | 12722 | 15355 | 15827 | 17130 | 18457 | 14753 | 13743 | 8082 | 6453 | 148756 |
| %/% | 39 | 41 | 56 | 51 | 56 | 58 | 63 | 75 | 69 | 67 | 48 | 42 | 57 |

Зъбната XVIII ТАБЛИЦА

| | с з в я д о м е с я ц и | | | | | | | | | | | | |
|---|-------------------------|------|-------|-------|-------|-------|-------|-------|-------|-------|------|------|-----------|
| | I | II | III | IV | V | VI | VII | VIII | IX | X | XI | XII | Всего Год |
| Знис რազօ- օնու Ելասդ- լու շաբթօ Վозможные суммы сол- нечной ра- диации | 6084 | 7998 | 13073 | 16422 | 19420 | 19429 | 19452 | 16859 | 13200 | 10367 | 6599 | 5452 | 154357 |
| Կամքըովո շաբթօ . . . Действит. суммы | 2504 | 3468 | 7502 | 8551 | 11278 | 11658 | 12620 | 12965 | 9250 | 7216 | 3353 | 2417 | 92783 |
| %/%/% . . . | 41 | 43 | 57 | 52 | 58 | 60 | 65 | 77 | 70 | 70 | 51 | 44 | 60 |

შზის რაღიაცის ჯამების გარდა, აღილის მნიშვნელოვან დამახასიათებელს წარმოადგენს პროცენტული დამოკიდებულება ნამდვილსა და შესაძლებელ ჯამებს შორის. ცხადია, რომ ეს დამოკიდებულება უშუალოდ დაკავშირებულია მზის ნათების ხანგრძლივობასთან ანუ ლრუბლიანობასთან. მართლაც, მიღებული დამოკიდებულება, პროცენტულში გამოხატული (მე-3 სტრიქონი), ეთანხმება მზის ნათების მონაცემებს (ცხრ. I, მე-4 სტრიქონი). მაქსიმუმი აგვისტოშია, მინიმუმი — იანვარში.

მთვარის, რადგან კი ეს უკავშირი არ არის. მაგრავ არ არის მაგრავი მოცემულია
XIX კერძოლში.

ВЪВЪДОХЪ XIX ТАБЛИЦА

როგორც მოსალოდნელი იყო, აბასთუმაში მზის რადიაციით კველაზე
მდიდარი სეზონი ზაფხულით, ხოლო კველაზე ღარიბი ზამთარი, სახელდობრ,
10. აბასთუმაში ასრულდის მიერთ მდებრეალის ბიულეტენი № 8.

მთელი წლის ჯამშის 35% (მართობ ზედაპირზე) და 40% (პორიზონტულ დაბირზე) ზაფხულზე მოდის, ზომთარში კი 13% და 9%.

აბასთუმნის აქტინომეტრული დახასიათების მეტი მთლიანობისათვის მოგვავს ცხრილი XX, რომელიც შეიცავს პორტოზონტულ ზედაპირზე რაღიაციანურ დონებს მართობ ზედაპირზე რაღიაციანურ პორტოზონტულ გვერდზე.

(3650850) ХХ ТАБЛИЦА

| | т з д о м е с я и я | | | | | | | | | | | | |
|--|---------------------|----|-----|----|----|----|-----|------|----|----|----|-----|--------------|
| | I | II | III | IV | V | VI | VII | VIII | IX | X | XI | XII | Всего за Год |
| Безусловно задолжен Возможные суммы | 37 | 46 | 58 | 65 | 70 | 71 | 71 | 68 | 62 | 51 | 40 | 36 | 59 |
| Барабашово задолжен Действительные суммы | 40 | 48 | 59 | 67 | 73 | 74 | 74 | 70 | 63 | 53 | 41 | 38 | 62 |

როგორც ამ ცხრილიდან ჩანს, ამ ფარდობათა წლიური სელა თანახმად მიჰყება შვის დახრილობის უფლება.

როგორც ზევით აღნიშნეთ, იბასთუმნის აქტინომეტრული მონაცემები 1— $1\frac{1}{2}$, წლის დაკვირვებებიდან გამოყვანილი, გამოკვეყნებულია გ. ჭირა აქტა შორიში 12. ჩვენ შევადარეთ ამ მონაცემებს ის შედეგები, რომლებიც გავიღეთ. 9 წლის დაკვირვებებიდან. ამ შედარებამ გვიჩვენა, რომ წლიურ შედეგებში რადიაციის შესაძლებელ ჯამებში მათ შორის სხვაობა $2-3\%$ -ია, ნამდვილ ჯამებში კი $1-2\%$. რადიაციის საშუალელი საშუალო დაბაზულობა ორი ჯე შემთხვევაში ერთი მეორეს ემთხვევა, ხოლო გამჭვირვალობის კოეფიციენტი 0.3% -ით განსხვავდება. გამჭვირვალობის კოეფიციენტის რიცხვობრივ მნიშვნელობათა უშუალო შედარება, მართალია, მეტ განსხვავებას გვაძლევს, მაგრამ ეს მით აისწერა, რომ გ. ჭირა აქტა ის მასალებში აღმისართნობს მასიში არ

ეს შედარებანი მოწმობენ აბასთუმანში სოლარული კლიმატის ელემენტების საკმაო მდგრადობას.

მოვიყენეთ-რა კურორტ აბასთუმნის ის აქტინომეტრული დამახასიათებლები, რომელიც ძირითადად შეიძლება გამოგვეყვანა მზის პირდაპირ რაღი-ცვააზე არსებულ დაკირვებათა მასალებიდან, მიზანშეწონილად ციგვაჩინია აქვე შევადაროთ ზოგი მათგანი სხვა კურორტების ამგვარსაფე მონაცემები.

მნის ნათების ხანგრძლივობის წლიური ჯამებისა და საშუალო დღიური სიდიდეების შედარება მოცემულია XXI ცხრილში.

ВЪВОДНА ТАБЛИЦА

| | აბასთუ- მანი | დავოსი Давос | ლიბანი Либани | შოვი Шови | ბახმარო Бахмара | სოხუმი Сухуми |
|--------------------------|-----------------|-----------------|------------------|--------------|--------------------|------------------|
| შლიური ჯამები | 1897 | 1789 | 2238 | 2051 | 1928 | 2054 |
| Годовые суммы | | | | | | |
| საშუალო დღიური ნათება. . | 5.2 | 4.8 | 6.1 | 5.6 | 5.3 | 5.6 |
| Среднее ливненое сияние | | | | | | |

ჩება ლიპანს (სადაც ნათება 341 საათით ანუ 15%-ით მეტია), სოხუმს (157 საათით ანუ 8%-ით) და შოვს (154 საათით ანუ 7.5%-ით) და სჭარ-ბობს ცნობილ კურორტს დავოსს (108 საათით ანუ 6%-ით). საშუალო დღიური ნათების მხრივათაც ასეთივე სურათი გვაძეს; აბასთუმნის სა-შუალო დღიური ნათება ახლოა ბახმაროს საშუალო დღიურ ნათებასთან, ჩამორჩება ლიპანის, სოხუმის და შოვის ნათებას, ხოლო სჭარ-ბობს დავოსისა ცხ. მზის ნათების უფრო დეტალურად შედარებისათვის აქვე მოვლენავს აბასთუმნის და ხენებული კურორტების საშუალო დღიური ნათებანი თვეების მიხედვით (ცხრილი XXII).

Съ60сър XXII ТАБЛИЦА

ამ ცხრილის განხილვისას განსაკუთრებით აღსანიშნავია ერთი გარემობა: მიუხედავად იმისა, რომ ა ბ ა ს თ უ მ ა ნ შ ი მშის ნათების ხანგრძლივობის წლიური ჯამი სტარტობს დაკონსისას, ზამთრის პერიოდში (იანვარი, თბერებული) ეს უკანასკნელი მაინც აღემატება აბასთუმნისას.

თემერვალი) ეს უკანასკნელი სიცოცხლის დღესაც მიმდინარეობს.

ОБНОВО ХХIII ТАБЛИЦА

ამ ცხრილში მოყვანილი სიღიდეები ურთიერთშორის საკმაოდ შედარებადია, რადგანაც აღებული საღვურების განედები დიდად არ განსხვავდებიან ერთმანეთისაგან (ისინი იკვლებიან $41^{\circ}45'$ -დან უ მ ა ნ შ ი $46^{\circ}48'$ -მდე ა ვ თ ს შ ი) და, მაშასადამე, საშუალეო მზის სიმაღლეებიც ახლო არინ ერთმანეთთან. შედარება გვიჩვენებს, რომ რადიაციის დაძაბულობა ა ბ ა ს თ უ-მ ა ნ შ ი მეტია, ვიდრე სოხუმში და ნაკლებია, ვიდრე ყველა მასზე უფრო მაღლა მდებარე საღვურებზე (ბ ა ხ მ ა რ თ, ზ თ ვ ი, ლ ი ბ ა ნ ი), რაც ბე-ნებრივია. ამ სიღიდეებით შეიძლება ერთგვარი შედარებითი დახასიათება და-სახელებული ადგილებისა. მაგრამ ჩვენ საშუალება გვაქვს უკანასკნელთა ატმო-სფეროს რადიაციულ-ოპტიკური თვისებები უფრო მძიეულობად შევაფასოთ ზემოთ ხსენებული გამჭვირვალობის კოფიციენტით ან სიმღრივის ფაქტორით. წინასწარ უნდა აღვნიშნოთ, რომ სიმღრივის ფაქტორი T , გამოყვანილი (2) ფორმულის საშუალებით, ნაკლებად შედარებადია იმ შემთხვევაში, თუ ადგი-ლების სიმაღლეები ერთმანეთისაგან მნიშვნელოვნად განსხვავდებიან. შემჩნეუ-ლია სიმღრივის ფაქტორის დაბატებითი ვირტუალური სელა აღგილის სიბალ-ლის მიხედვით. სიმაღლის ზრდასთან T გადაპირებულ მნიშვნელობებს დებუ-ლობს. ამ უხერხულობის ასაკილებლად, ბოლო ხანებში, ლიტერატურაში არ-სებული დისკუსიის შედეგად, მიღებულია $F_{eu}ssnef$ -ის და $Dubois$ ¹¹ წინადაღება; რომლის მიხედვითაც სხვადასხვა სიმაღლეებისათვის (2) ფორმუ-ლით გამოთვლილი T მიჰყავთ ზღვის დონეზე შემდეგი ფორმულის საშუალე-ბით:

$$T = (T-1) \frac{B_h}{760} \frac{a_m}{a_o} + 1 \quad (5)$$

სადაც კო იდეალური ატმოსფეროს შთანთქმის კოეფიციენტია ფაქტიური თ-
სათვის, ან—ასეთივე კოეფიციენტი ატმოსფეროს იმ მასისათვის თ, რომელსაც
ადგილი ეწებოდა მზის ამ ვე სიჩალლეზე ზღვის დონესათვის.

ВЪЛНОВО ХХIV ТАБЛИЦА

XXIV ცხრილში მოცემულია (5) ფორმულის საშუალებით ზღვის დონეზე მიუვანილი სიმღვრივის ფაქტორები. როგორც ჩანს, T' ფაქტორები აღებულ მთავარ იდგილებისათვის დიდად არ განსხვავდება ან ერთმანეთისაგან (საშუალო წლიურში): დაახლოებით ერთი რიგისა არიან; მათი მნიშვნელობა იცვლება 1,88-დან (ბახ არო, $H=1934$ მ) 2,16-მდე (აბას თუმანი, $H=1260$ მ). სხვებისაგან შედარებით მნიშვნელოვნად განსხვავდება მხოლოდ სოხუმი ($T'=2.54$), რაც გასაგებიც უნდა იყოს, რადგანც სოხუმი განსაკუთრებით გამოიჩინა მათში მეტი სინოტიკით,—როგორც ზღვის დონეზე მდებარე—და, ალბათ, მეტი მტკერიანობითაც. ამავე ცხრილის ბოლოში მოყვანილია სიმღვრილის ფაქტორის წლიური მშენიჭუდები. როგორც კეცდავთ, კუელაზე დიდი ამვის ფაქტორის წლიური მშენიჭუდები. როგორც კეცდავთ, კუელაზე ნაკლები კა დავოსს (0.52).

Збірник XXV ТАБЛИЦА

XXV ცხრილში მოყვანილია ამავე ადგილების პტმოსფეროს გამჭვირებულების კოეფიციენტები.

Թիւս հագուցուն վլույրո չաթեցուն (լիքունո ՀХVI) Մըդարշեց զըմիւնցիւն հոմ սեօցեցունսաւմո մարտոն ծեցակունց ա ծ ա ս տ ց թ ա ն թ ա մ թ իւս հագուցուն վլույրո չաթեցուն սակլուցքեց ծ ա ե թ ա ր ո ս թնօշեցնուցքեցն, սվարինուն և ս պ թ ա ս ա ս (8% -ու), ჩամուրինուն թ ա զ ո ս ա ս (12% -ու), լա լո ծ ա ն ո ս ա լ (14% -ու).

ВЪДОВЪ ХХVI ТАБЛИЦА

| პუნქტები—пункты | მართობი ზედაპირი Перпендикулярная поверхность | პორიზობული ზედაპირი Горизонтальная поверх- ность |
|---------------------------------|---|--|
| აბასთუმანი—Абастумани | 148756 | 92783 |
| დავოსი—Давос | — | 78641 |
| ლიბანი—Либани | 169907 | 99490 |
| შოვი—Шови | 166130 | 96924 |
| ბახმარო—Бахморо | 152820 | 88610 |
| სოხუმი—Сухуми | 137283 | 80604 |

წლიური ჯამების განხილვისას შეიძლება განსაკუთრებული ყურადღება მიიქცაოს იმ გარემოებამ, რომ პირიზონტულ ზედაპირზე ა ბას თუ მნის წლიური ჯამები მეტია ბას მართვის ჯამებზე ($5\%_0$ -ით), მიუხედავად იმისა, რომ მართობ ზედაპირზე, როგორც ზემოთ ვნახეთ, შებრუნებულ სურათს აქვს აღგილი. პირველი შეხედვით ეს შეიძლება მიგვეწერა განსხვავებისაოვის მათ ვეოგრაფიულ მდებარეობაში, მაგრამ ბას მართვის მხოლოდ 7'-ით უფრო ჩრდილოეთით მდებარეობს ა ბას თუ მან თან შედარებით; ამ მცირე სხვაობას კი არ შეუძლია ასეთი გავლენა მოახდინოს. ამ გარემოებას კარგად ხსნის აქვემდებრი ცხრილი XXVII.

ВЪРОЗО ХХVII ТАБЛИЦА

| Пункты | Б а с т г д о — ч а с ы | | | | | | | | | | | | | | |
|---------------------|-------------------------|-------|-------|-------|-------|-------|-------|-------|-------|-------|-------|-------|-------|-------|-------|
| | 5—6 | 6—7 | 7—8 | 8—9 | 9—10 | 10—11 | 11—12 | 12—13 | 13—14 | 14—15 | 15—16 | 16—17 | 17—18 | 18—19 | 19—20 |
| Абасатумбаево . . . | 0.438.1 | 116.6 | 164.0 | 205.4 | 226.6 | 233.9 | 227.7 | 216.7 | 196.7 | 151.8 | 97.5 | 22.4 | | | |
| Абастумани . . . | | | | | | | | | | | | | | | |
| Бахмаро . . . | 25.6 | 82.3 | 142.3 | 188.5 | 203.9 | 205.8 | 194.1 | 181.5 | 171.0 | 162.7 | 146.4 | 112.6 | 74.3 | 33.7 | 2.0 |

ჩვენ ვხედავთ, რომ წლიურ საათიერ ჯამბტი ბახმაროზე მზის ნა-
თება დილის 8 საათამდე და საღამოს 16 საათის შემდეგ გაცილებით სჭარ-
ბობს აბასთუ მნისას; ხოლო 8 საათიდან 16 საათამდე, პირიქით, აბას-

თუ მნისა სკარბობს ბახმაროსას. მზის რაღიაციის მართობ ზედაპირიდან ჰორიზონტულზე გადამყვანი მამრავლი, როგორც ვიცით, არის *sin h*, ე. ი. იგი დამიკიდებულია მზის სიმაღლეზე. რაღან მზის სიმაღლე დილის და
ე. ი. იგი დამიკიდებულია მზის სიმაღლეზე. რაღან მზის სიმაღლე დილის და
საღამოს საათებში გაცილებით უფრო მცირეა. შუაღლის მახლობელ საათებთან
შედარებით, ამიტომ ბახმაროს დილის და საღამოს საათების ნათების და,
მაშასაღამე, სითბური ჯამების სიქარბე აბასთუმანთან შედარებით ვერ
ახდენს შუაღლის მახლობელ საათებში აბასთუმნის ნათების სიჭარბის
და ჯამების კომპენსაციას.

Зъбна XXVIII ТАБЛИЦА

| 375 | Зима | % | Весна | % | Лето | % | Осень | % |
|----------------------------------|-------|----|-------|----|-------|----|-------|----|
| | | | | | | | | |
| Абастурмани—Абастумани | 8389 | 9 | 27331 | 30 | 37243 | 40 | 19819 | 21 |
| Давос—Давос | 7730 | 10 | 23090 | 29 | 32051 | 41 | 15770 | 20 |
| Либани—Либани | 10453 | 11 | 26460 | 27 | 40366 | 40 | 22212 | 22 |
| Шови—Шови | 11694 | 12 | 26827 | 28 | 38157 | 39 | 30248 | 21 |
| Бахмаро—Бахмаро | 9419 | 11 | 27169 | 30 | 32768 | 36 | 20160 | 23 |
| Сухуми—Сухуми | 6675 | 8 | 21538 | 27 | 35083 | 43 | 17310 | 22 |

360^{го} XXIX ТАБЛИЦА

შზის რაღიაციის ჯამების სეზონური განაწილება ჰორიზონტულ და მართობ ზედაპირებზე (ცხრილები XXVIII და XXIX) გვიჩვენებს, რომ ჰორიზონტულ ზედაპირზე (რაც პრაქტიკულად უფრო სიინტერესო) ა ბ ა ს თ უ მ ა ნ შ ი სინედროს ფეხიტი შზის პირდაპირი რაღიაციისაგან ზამთარსა და შემოდგომაზე თბოს და სოხუმის და სოხუმის დებიტს, ხოლო ჩამორჩება ბ ა ს მ ა-სკარბობს დ ა ვ თ ს ი ს და სოხუმის დებიტს, ხოლო ჩამორჩება ბ ა ს მ ა-სკარბობს დ ა ვ თ ს ი ს და შ თ ვ ი ს ა ს. გათხაფხულზე იგი სკარბობს ყველა როსა, ლ ი ბ ა ნ ი ს ა და შ თ ვ ი ს ა ს. გათხაფხულზე იგი ჩამორჩება მხოლოდ ლ ი ბ ა ნ ი ს ა დასახელებულ აღვილებისას, ზაფხულში კი ჩამორჩება მხოლოდ ლ ი ბ ა ნ ი ს ა და შ თ ვ ი ს ა ს. სხვა კლიმატიურ მონაცემებთან ერთად, სითბოს დებიტის

ასეთი სეზონური განაწილება; ალბათ, ერთ-ერთი მნიშვნელოვანი ხელშემწყებ, ფაქტორია იმისა, რომ აბასთუმანში საკურორტო სეზონი მთელი წლის განვლობაში გრძელდება.

აქვე უნდა აღნიშნოთ, რომ დასახელებული კურორტებისათვის გვერდი მოუვანილი მონაცემები ერთმანეთთან სავსებით შედარებადინა, რადგანაც გამო (დავოსის გარდა) და ამასთანავე სრულიად ერთნაირი ხელსაწყოებითა და ერთ-

ბარტი, 1942.

ЛІТЕРАТУРА:

1. Курорт Абастумани, Сборник статей, Грузгосиздат, 1935.
2. В. Н. Оболенский, Метеорология, 1938.
3. Beitr. z. Phys. d. freien Atmosph. B. X, N. 1, 1921.
4. Zs. f. Geoph. S. 334, 1926; S. 66, 1927.
5. И. Э. Гачечиладзе, Абастуман, 1933.
6. Gerl. Beitr. z. Geoph. B. 27, S. 132, 1930.
7. Труды Га. Геоф. Обс., вып. I, II, № 1, 1934.
8. Курорт Абастумани, Сборник статей, Грузгосиздат, 1935.
9. Б. Дзагания, Актинометрическая характеристика курорта Либани (рукопись).
10. Ш. В. Мосидзе и П. А. Рухадзе, Актинометрическая характеристика курорта Бахмаро (рукопись).
11. Труды Га. Геоф. Обс., вып. I, II, № 1, 1934.
12. Л. В. Векуа, Актинометрическая характеристика курорта Шови (рукопись).
13. Op. cit.
14. Op. cit.

К АКТИНОМЕТРИЧЕСКОЙ ХАРАКТЕРИСТИКЕ КУРОРТА АБАСТУМАНИ

Ш. М. ЧХАИДЗЕ

(Резюме)

Курорт Абастумани расположен в ущельи реки Оцхе, которая на расстоянии 10 км к югу от курорта впадает в реку Коблиани. Географические координаты курорта: $\varphi = 41^{\circ}45'N$ и $\lambda = 42^{\circ}50'E$ от Гринича. Средняя высота курортной зоны над уровнем моря составляет 1200—1500 метров, а высота метеорологической станции — 1260 м.

Абастуманское ущелье врезывается в южные склоны Алжаро-Гурийского хребта. Высота этого хребта в той ее части, где он соприкасается с курортной зоной, доходит до 2000—2800 м над уровнем моря. Отроги названного хребта окружают Абастумани со всех сторон, кроме юга, где начинается Ахалцихская долина, которая на расстоянии 80—90 км пересекает уже в Ахалкалакское плоскогорье, возвышающееся над уровнем

Абастумани является высокогорным курортом всесоюзного значения; изучению его климата посвящен ряд печатных работ, базирующихся в основном на многолетних данных местной метеорологической станции. В этих трудах либо совершенно отсутствует, либо ничтожное место занимает такой фундаментальный климатический элемент, как радиация Солнца. В этом отношении исключение представляет статья Г. И. Чира-каձե¹ под названием «Климат Абастумани», где приводятся некоторые актинометрические характеристики курорта, но они, к сожалению, выведены из наблюдений весьма короткого периода (1—1½ года). Поэтому, нам кажется целесообразным опубликовать некоторые результаты, полученные из актинометрических наблюдений, производимых с актинометром Михельсона на Абастуманской метеорологической станции систематически за время с 1932 по 1940 г., включительно, согласно общепринятой программе. Другие вспомогательные данные (сияние Солнца, влажность воздуха и т. п.), содержащиеся в настоящей статье, относятся также к этому периоду. Актинометрические величины при этом даны в европейской шкале (по шкале Ångström'a).

Как сказано выше, Абастумани лежит в ущельи; благодаря этому его горизонт значительно закрыт близлежащими горами. Закрытость горизонта достигает здесь наибольшей величины на востоке и западе, так как само ущелье, в котором расположен курорт, имеет меридиональное направление. Наглядную картину закрытости горизонта дает черт. I, на котором высоты закрытости горизонта, измеренные с места установки гелиографа на метеостанции, выражены в градусах. На чертеже заштрихованными полосами выделены те участки горизонта, в которых происходит фактический восход и заход Солнца в течение года.

Как показывают вычисления, возможная годовая сумма солнечного сияния в Абастумани при наличии совершенно открытого горизонта составляла бы 4400 часов, а при фактически существующих условиях закрытости горизонта лишь 3232 часа, т. е. потеря в продолжительности сияния Солнца из-за закрытости горизонта составляет 1168 часов.

Действительная же годовая сумма солнечного сияния в Абастумани, согласно записям гелиографа системы Campbell'a, равняется в среднем 1897 часам, что составляет 59% возможного (при реальных условиях закрытости горизонта) сияния. Картину распределения этих величин в течение года (по месяцам) дает таблица I.

Как видно из этой таблицы (строка 4-ая), максимум продолжительности сияния Солнца в Абастумани имеет место в августе (243 часа), минимум же в январе (81 час). Ясно, что продолжительность солнечного сияния зависит от продолжительности дня, состояния горизонта и облачности. Продолжительность дня в августе конечно меньше, чем в июне и в июле, и очертания закрытости горизонта Абастумани не ставят

август в более благоприятные условия сравнительно с другими месяцами, так что максимум сияния Солнца в августе объясняется только лишь минимумом облачности в этом месяце. Это подтверждается и высоким процентом (76%) относительного солнечного сияния, имеющим место в Абастумани как раз в августе (табл. I), а также годовым ходом облачности, показанным в таблице II.

Картину распределения солнечного сияния в течение дня по месяцам дает таблица III.

Рассмотрение этой таблицы показывает, что с марта по октябрь включительно дополуденное солнечное сияние больше послеполуденного, а в остальные месяцы — наоборот: послеполуденное сияние превосходит дополуденное. В общегодовом же среднем продолжительность дополуденного сияния на 73 часа (8%) больше продолжительности послеполуденного сияния. (До полудня 985 часов, после полудня 912 часов). Причиной означенного явления могут быть два обстоятельства: либо разница в степени закрытости горизонта на востоке и на западе, либо своеобразный суточный ход облачности.

Рассмотрим сперва влияние разницы в степени закрытости горизонта. Черт. I показывает наглядно, что на западе горизонт закрыт больше (от 14° 0 до 20° 8), чем на востоке (от 13° 0 до 18° 6). Влияние этого обстоятельства видно и из таблицы III, если сопоставить между собой равноделенные от полудня ранние утренние и поздние вечерние часовые промежутки. Из такого сравнения получается, что продолжительность солнечного сияния в утреннем часовом промежутке почти всегда больше, чем в соответствующем вечернем часовом промежутке. Но подсчет соответствующих разностей показывает, что преимущество утренних часов перед вечерними в количестве сияния Солнца не могло превзойти 2%.

Что же касается того обстоятельства, что с марта по октябрь дополуденные суммы сияния Солнца больше послеполуденных, а в другие месяцы — наоборот, то объяснения этому нельзя искать в состоянии горизонта. Следовательно, разницу в продолжительности сияния Солнца в дополуденные часы, в количестве 73 часов, нельзя объяснить лишь одним очертанием Абастуманского горизонта, а нужно принять во внимание и особенный характер хода облачности. Как видно, этот фактор является главной причиной как разницы в количестве солнечного сияния в дополуденные часы, так и периодичности этой разницы. И действительно, если сопоставим между собой околовидные часовые промежутки, симметрично расположенные по обе стороны от полудня, для которых закрытость горизонта не может иметь никакого влияния, то заметим, что в тот период года, когда дополуденное сияние превосходит послеполуденное (с марта по октябрь включительно), послеполуденные часовые промежутки почти систематически дают меньшее ко-

личество сияния Солнца сравнительно с дополуденными промежутками. Обратное явление имеет место в другие месяцы, когда дополуденное сияние Солнца меньше послеполуденного. Следовательно, в Абастумани с марта по октябрь должна преобладать послеполуденная облачность, а в остальные месяцы — дополуденная облачность. Такое заключение относительно распределения облачности в течение дня и его периодичности, полученное нами из непосредственного рассмотрения таблицы солнечного сияния для Абастумани, подтверждается и теоретическими соображениями². Как известно, максимум слоистых облаков имеет место ночью и по утрам в холодное время года, а максимум кучевых облаков наблюдается в теплое время года и в послеполуденные часы, что вполне согласуется с нашими данными по Абастумани.

Солнечные лучи, при прохождении через атмосферу Земли, как известно, испытывают некоторое ослабление, которое, с одной стороны, зависит от длины пути лучей в атмосфере или, иными словами, от высоты Солнца над горизонтом места наблюдения, а с другой — и от характера этих частиц, которые в том или другом виде всегда встречаются в атмосфере. Если бы мы имели дело с так называемой «идеальной атмосферой», т. е. с атмосферой, состоящей только лишь из молекул постоянных газов (азота, кислорода, аргона и т. п.), то при постоянной высоте Солнца над горизонтом напряжение его радиации, приведенное к среднему расстоянию Земля—Солнце, оставалось бы постоянным. Но, так как реальная атмосфера Земли представляет собой смесь, куда, кроме постоянных газов, входит и переменная часть, состоящая из пыли, частиц дыма, водяных паров и т. п., то поэтому напряжение солнечной радиации испытывает дополнительное ослабление, зависящее от качества и количества вышеупомянутых переменных частей атмосферы. Таким образом, дошедшая до поверхности Земли радиация Солнца может служить показателем, в каком количестве «входит» упомянутая выше переменная часть в атмосферу при данных условиях, т. е. можно сказать, что солнечные лучи могут выполнять роль оптического зонда для атмосферы Земли.

Кроме состояния прозрачности атмосферы и высоты Солнца над горизонтом, определенное влияние на величину напряжения радиации Солнца имеет также и изменение расстояния между Землей и Солнцем (в течение года, но это явление периодического характера и всегда возможно вводить необходимую поправку за него).

Напряжения солнечной радиации, измеренные при одной и той же высоте Солнца над горизонтом места наблюдения, дают представление о существующем состоянии прозрачности атмосферы; но интенсивности солнечной радиации, измеренной в разное время и в различных местах, трудно сравнивать между собой и они не обладают достаточной наглядностью для оценки степени прозрачности атмосферы. Поэтому для определения

физического состояния атмосферы употребляется так называемый коэффициент прозрачности атмосферы, который показывает какая доля радиации Солнца дошла бы до поверхности Земли после прохождения солнечными лучами одной массы атмосферы. За единицу же массы атмосферы принята толщина воздуха, которую лучи проходят от внешних пределов атмосферы до уровня моря при зенитном стоянии Солнца.

Коэффициент прозрачности атмосферы вычисляется по формуле Lambert-Bouger:

$$I_m = I_0 p^m \quad (1)$$

где I_m —наблюдаемая интенсивность солнечной радиации, приведенная к среднему расстоянию Земля-Солнце, I_0 —солнечная постоянная, или напряжение радиации Солнца у внешних пределов земной атмосферы, m —масса атмосферы, которую солнечные лучи проходили в момент наблюдения, а p —коэффициент прозрачности атмосферы.

Оказалось, что коэффициент прозрачности p , вычисленный по формуле (1), обладает значительным виртуальным ходом, вследствие чего с возрастанием значения массы m возрастает и величина p . Поэтому в 1921 г., по предложению Linke³, для оценки состояния прозрачности атмосферы был введен, так называемый, «фактор мутности», который вычисляется по несколько видоизмененной формуле Lambert-Bouger:

$$I_m = I_0 q_m m T \quad (2)$$

Здесь I_m , I_0 и m имеют те же значения, что и в формуле (1), q_m представляет собой коэффициент прозрачности идеальной атмосферы для массы m , а T —фактор мутности, численное значение которого показывает сколько идеальных атмосфер нужно взять для получения такого-же ослабления солнечной радиации, которое вызывается реальной атмосферой.

Вначале полагали, что вычисленный по формуле (2) фактор мутности атмосферы T свободен от виртуального хода, но потом выяснилось, что и ему присущ виртуальный ход⁴, хотя и не такой значительный, как коэффициенту прозрачности p . Поэтому, в последнее время, для определения степени прозрачности атмосферы преимущественно пользуются вышеуказанным фактором мутности T .

Для Абастумани мы вычислили оба индекса, как p , так и T , что дает возможность сравнения Абастуманских данных с данными любого другого места, для которого имеется хоть один из этих индексов прозрачности атмосферы. С этой целью, мы взяли результаты астрономических наблюдений в Абастумани для тех моментов, когда высота Солнца над горизонтом равнялась $19^{\circ}3$. Ясно, что такие моменты за каждый день встречаются два раза: один до полудня, а другой после полудня. Соответствующие таким моментам среднесмешечные величины напряжения солнечной радиации помещены в таблице IV: отдельно для дополуденных

и отдельно для послеполуденных моментов, а также общие средние для всего дня, соответствующие той же высоте.

При помощи приведенных в этой таблице величин мы вычислили индексы p и T пользуясь формулами (1) и (2). С этой целью наблюденные напряжения солнечной радиации, помещенные в таблице IV были предварительно приведены к среднему расстоянию между Землей и Солнцем по формуле:

$$I^* = I \left(\frac{R}{R_0} \right)^2 \quad (3)$$

Здесь I^* —напряжение солнечной радиации, приведенное к среднему расстоянию Земля-Солнце, I —напряжение той же радиации, полученное непосредственно из наблюдений; R и R_0 —расстояние между Землей и Солнцем в момент наблюдения, и среднее расстояние, соответственно.

Величины таблицы IV, перевычисленные по формуле (3), даются в таблице V.

Солнечная постоянная принята нами равной $1.88 \text{ grcal cm}^{-2} \text{ min}^{-1}$, а масса атмосферы $m=2.59$, хотя для высоты Солнца $h_0=19^{\circ}3$ по таблице Венгрегада следует $m=3.0$. Но, как известно, Венгрегад составил свою таблицу для нормального давления атмосферы $B_0=760 \text{ mm}$, а для Абастумани, по многолетним данным, $B_h=656 \text{ mm}$ в среднем⁵. Поэтому m для Абастумани мы перевычислили по формуле:

$$m = m_0 \frac{B_h}{B_0} \quad (4)$$

где m_0 —масса атмосферы, взятая из непосредственного наблюдения по высоте Солнца, m —исправленное за высоту места значение ее, B_h —давление воздуха в месте наблюдения, а B_0 —нормальное давление атмосферы.

Вычисленные таким способом значения коэффициентов прозрачности атмосферы для Абастумани помещены в таблице VI.

Для вычисления фактора мутности T по формуле (2) коэффициент идеальной атмосферы q_m взят нами из таблиц Feussnега и Dubois⁶, каковые дали для нашего случая $q_{2.59}=0.9185$.

Полученные таким способом значения величин фактора мутности для Абастумани помещены в таблице VII.

Как известно, главным фактором помутнения атмосферы являются пыль разного происхождения и водяные пары. Поэтому для одной и той же массы воздуха фактор мутности T до полудня должен иметь меньшую величину, чем после полудня, так как при нормальных условиях пыль и водяные пары в послеполуденное время должны содержаться в атмосфере в большем количестве, чем в дополуденное время. Но, как показывают имеющиеся в нашем распоряжении данные, это соображение не всегда и

не везде оправдывается. Из рассмотрения материалов 9 актинометрических станций СССР, А. И. Батыгина⁷ приходит к тому заключению, что во-в-обще значения фактора мутности T в дополуденное время меньше, чем в послеполуденное, но некоторые станции составляют исключение из этого правила и дают обратный ход, что, по всей вероятности, зависит от чисто местных условий. Как видно из таблицы VII, к таким исключениям принадлежит и Абастумани. Здесь в среднем годовом величина фактора мутности T в дополуденные часы больше ($T=2.35$), чем в послеполуденные ($T=2.25$). Что же касается отдельных месяцев, то в январе T в дополуденное время меньше, чем после полудня; в феврале и марте их значения равны, а начиная с марта и в течение всех остальных месяцев до конца года величины дополуденных T всегда больше величин послеполуденных. Можно предположить, что причиной такой двойственности дневного хода фактора мутности атмосферы в Абастумани является дневной ход направления ветров. По данным М. О. Кордзахиа «Направление ветров в Абастумани вполне подчиняется суточному ходу горно-долинных ветров: с 9 часов утра до 2 часов дня господствует юго-западный ветер, т. е. дует снизу вверх, а в остальные часы — сверху вниз»⁸.

Отсюда понятно, что ветер, дующий до полудня с юго-запада или с юга, т. е. снизу вверх, может занести в курортную зону из Ахалцихской котловины и ее окрестностей гораздо больше пыли, чем ветер, дующий после полудня с гор, где не имеется очагов запыления.

Анализ годового хода фактора мутности атмосферы (табл. VII, строка 3) показывает, что главный его максимум имеет место в Абастумани летом (август), а минимум — зимой (декабрь), что нужно считать нормальным, так как максимальное количество пыли и водяных паров — этих главных факторов помутнения атмосферы — накапливается в воздухе как раз летом, минимальное же — зимой.

В смысле годового хода мутность атмосферы Абастумани отличается некоторыми особенностями. Но прежде, чем коснуться этих особенностей, целесообразно рассмотреть зависимость годового хода фактора мутности атмосферы от годового хода абсолютной влажности воздуха. Известно, что годовой ход фактора мутности атмосферы с достаточной закономерностью следует за годовым ходом абсолютной влажности воздуха, но ожидать полной параллельности между ними, конечно, нельзя, так как, кроме водяных паров, запыленность воздуха оказывает значительное влияние на помутнение атмосферы. Помимо этого, измеренная у поверхности земли абсолютная влажность воздуха не дает также точной характеристики всего количества водяных паров, содержащихся в момент измерения во всем вертикальном столбе воздуха над местом наблюдения. Приблизительно соответствующую вышеприведенным соображениям картину и дают данные Абастумани (см. черт. 2).

Как было указано выше, минимум фактора мутности атмосферы для Абастумани получается в декабре, а минимум абсолютной влажности воздуха — в январе, т. е. смещение фазы равняется одному месяцу. Такое же однومесячное смещение имеет место и для максимума фактора мутности, а именно: максимум абсолютной влажности воздуха наступает в Абастумани в июле, а максимум фактора мутности — в августе.

Для выявления зависимости между фактором мутности и абсолютной влажностью атмосферы мы вычислили коэффициент корреляции r между ними (T и e) и получили:

$$r=0.903 \pm 0.036.$$

Такое большое значение величины r свидетельствует о том, что в Абастумани ведущим агентом помутнения атмосферы являются содержащиеся в ней водяные пары, а пыль, вследствие своей малозначительности является второстепенным агентом. Как видно из чертежа 2, годовой ход фактора мутности для Абастумани в летние месяцы обладает некоторой особенностью. Наступление максимума фактора мутности в августе нужно считать нормальным, хотя максимум абсолютной влажности падает на июль месяц, но запыленность воздуха в августе, который отличается засушливостью, явно должна быть больше, чем в предыдущие месяцы, тем более, что этот месяц является центром курортного сезона с максимальным скоплением курортников и с наибольшим усилением уличного движения. Здесь некоторое недоумение вызывает то, что в июле мутность атмосферы в Абастумани получается меньше, чем в мае и июне.

Мы попытались отыскать причину этого явления в занесенной из окружающих районов запыленности, что связано, конечно, с направлением господствующих ветров. Поэтому нам пришлось рассмотреть распределение ветров в Абастумани, которое приводится в таблице VIII.

Как видно из этой таблицы, в Абастумани в основном господствуют (преимущественно в летние месяцы) южные (S) и северные (N) ветры. Если сопоставим между собой эти два основных направления, то увидим, что южные ветры, за малым исключением, всегда имеют численный перевес над ветрами северных румбов (N), но в июле северное направление превосходит южное на 1%. Понятно, что в Абастумани южные ветры могут занести большую замутненность воздуха по сравнению с северными ветрами, так как южные ветры дуют из Ахалцихской долины и ее оголенных окрестностей, содержащих несравненно больше пыли, чем склоны Зекарского перевала. Поэтому можно притти к заключению, что преобладание северных ветров в июле служит причиной уменьшения помутнения атмосферы в Абастумани в это время. Но, к сожалению, величины фактора мутности в мае и июне все-таки столь значительно превосходят его июльскую величину, что объяснить такую значительную разницу между

ними лишь одним распределением ветров, по нашему мнению, затруднительно. Поэтому мы считаем необходимым отметить здесь одно обстоятельство, которое может иметь влияние на это явление. Автор, настоящей статьи имел случай прожить ряд лет в Абастумани; здесь его внимание привлекало наличие пыли желтоватого цвета, которая в обильном количестве появлялась в конце мая и в июне, садясь заметным слоем на подоконники домов, жалюзи английской будки и т. п. Впоследствии выяснилось, что эта пыль является результатом цветения хвойных деревьев в эту пору. Так как наличие пыли упомянутого происхождения становится заметным в повседневной жизни, то возможно, что она оказывает влияние на оптико-радиационные свойства атмосферы и вызывает чрезмерное увеличение фактора мутности в эту пору по сравнению с последующими месяцами. В пользу этого соображения говорят также данные некоторых таких актинометрических станций, в окрестностях которых имеются хвойные лесные насаждения. Так, например, курорт Либани⁹ дает максимум фактора мутности в мае, курорт же Бахмаро¹⁰ — в июне и Иркутск¹¹ — также в июне.

При этом нужно отметить здесь-же, что наряду с этим имеются и другие, противоречие вышеупомянутым соображениям. Так, например, для курорта Шови¹², который также имеет в окрестностях хвойные лесные насаждения, максимум фактора мутности наступает в августе, а не в мае-июне. Таким образом, особенности годового хода фактора мутности атмосферы в Абастумани не могут пока считаться окончательно выясненными.

Из существующих материалов наблюдений был получен графическим способом средний дневной ход интенсивности прямой радиации Солнца в Абастумани при условиях безоблачного неба для каждого месяца года как на перпендикулярной к лучам, так и на горизонтальной поверхности. Результаты этих вычислений приводятся в таблицах IX и X.

В этих таблицах, между прочим, обращает на себя внимание то обстоятельство, что послеполуденные напряжения радиации Солнца в большинстве случаев выходят больше дополуденных, им симметричных. Это объясняется, по нашему мнению, вышеуказанными колебаниями прозрачности атмосферы в Абастумани.

С точки зрения солнечного климата места самостоятельный интерес представляет также рассмотрение годового хода напряжений прямой радиации Солнца в истинный полдень, т. е. в те моменты, когда Солнце проходит меридиан места наблюдения. Соответствующие данные для Абастумани приводятся в таблице XI.

Как видно из этой таблицы, максимум напряжения солнечной радиации на перпендикулярной поверхности в истинный полдень для Абастумани получается в марте, хотя и можно было ожидать его наступления

в июне, так как Солнце как раз в этом месяце имеет наибольшую высоту над горизонтом. Но известно, что помимо высоты Солнца большое влияние имеет на величину напряжения солнечной радиации и количество содержания в атмосфере водяных паров. В марте высота Солнца над горизонтом вообще достаточно велика, а абсолютная влажность воздуха не особенно отличается от предыдущих месяцев (черт. 2), поэтому понятно появление высоких значений напряжения солнечной радиации как раз в этом месяце. С марта по июнь включительно полуденная высота Солнца все время возрастает, но одновременно абсолютная влажность воздуха возрастает гораздо резче и быстрее, что вызывает в итоге снижение величины напряжения радиации Солнца в истинный полдень. Что же касается горизонтальной поверхности, то здесь годовой ход соответствующих данных в достаточной мере согласуется с изменениями полуденной высоты Солнца над горизонтом в течение года.

В некоторых случаях интересно знать в какие часы дня можно иметь, в частности на горизонтальной поверхности, то или другое значение напряжения радиации Солнца в разные периоды года. Такие данные получаются особенно наглядными в виде изоплет. В связи с этим мы помещаем изоплеты напряжения радиации Солнца, построенные на основе актинометрических данных Абастумани (черт. 3).

В таблицах XII и XIII помещены так называемые «возможные часовые суммы» тепла солнечной радиации в $grcal cm^{-2}$ по месяцам для обеих поверхностей.

Из этих таблиц, на основе гелиографических данных о продолжительности сияния Солнца, были вычислены по известному методу «актинометр-гелиограф» действительные часовые суммы солнечной радиации, которые приводятся для обеих поверхностей в таблицах XIV и XV.

Рассмотрение этих таблиц показывает, что в суточном ходе в течение года дополуденные суммы солнечной радиации в Абастумани больше послеполуденных сумм. Разность между ними в возможных суммах составляет лишь 2%, а в действительных суммах — уже целых 6%.

На распределение возможных сумм могли иметь влияние очертание реального горизонта и изменения прозрачности атмосферы. Разница в возможных суммах в Абастумани безусловно вызвана очертанием горизонта, так как запад более закрыт горами, чем восток. Сопоставление соответствующих значений фактора мутности атмосферы дает обратные показания, т. е. при одинаковой степени закрытости горизонта на востоке и западе, послеполуденные суммы радиации Солнца должны были бы получиться больше, чем дополуденные ввиду того, что, как уже отмечено, помутнение атмосферы в Абастумани в дополуденное время больше по сравнению с послеполуденным временем. Что же касается разницы между дополуденными и послеполуденными действительными суммами тепла солнечной

радиации в Абастумани, то здесь остаются в силе вышеупомянутые факторы и к ним прибавляется еще действие третьего элемента, именно, влияние дневного распределения продолжительности солнечного сияния, что еще более усиливает существующую разницу и доводит ее до 6%.

В таблице XVI даны дневные суммы прямой радиации Солнца, как возможные, так и действительные для обоих поверхностей.

Как видно из этой таблицы, годовой ход возможных дневных сумм солнечной радиации на обе поверхности вполне закономерно следует за величиной продолжительности дня или, иначе говоря, за годовым ходом солнечного склонения; максимум получается в июне, а минимум — в декабре. Что же касается действительных дневных сумм, то их максимум смещается на август, а минимум для перпендикулярной поверхности падает на январь месяц, для горизонтальной же остается в декабре, так как на них дополнительно влияет еще годовой ход облачности.

Приблизительно такую же картину дает годовой ход месячных сумм солнечной радиации, как это видно из рассмотрения таблиц XVII и XVIII. Максимум возможных месячных сумм получается для перпендикулярной поверхности в мае, для горизонтальной же в июле, а минимум тех же сумм для обеих поверхностей падает на декабрь месяц. Что же касается действительных месячных сумм солнечной радиации, то максимум для них на обе поверхности приходится на август, а минимум для перпендикулярной поверхности — на январь месяц, для горизонтальной же поверхности — на декабрь.

Для актинометрической характеристики того или другого пункта очень важно знать, помимо сумм солнечной радиации, так же и процентное отношение действительных сумм к возможным, т. е. знать сколько % возможного количества солнечной радиации осуществлялось в действительности в данном месте за данный отрезок времени. Само собой очевидно, что это зависит непосредственно от продолжительности солнечного сияния в данном месте или, иначе говоря, от облачности и ее годового хода. И на самом деле, данные таблиц XVII и XVIII относительно процентного отношения действительных сумм солнечной радиации к возможным суммам вполне согласуются с данными таблицы I, касающимися продолжительности солнечного сияния в Абастумани: максимум получается в августе, минимум в январе.

Для практических целей очень полезно знать также и сезонный ход сумм солнечной радиации, что дано в таблице XIX.

Как и нужно было ожидать, из всех сезонов, самым богатым солнечной радиацией в Абастумани является лето, а самым бедным — зима. А именно: из всей годовой суммы солнечной радиации на долю лета для перпендикулярной поверхности получается 35%, а для горизонталь-

ной поверхности — 40%, на долю же зимы: для перпендикулярной поверхности — 13%, а для горизонтальной — 9%.

Для большей полноты картины солнечного климата Абастумани мы даем в таблице XX процентное отношение горизонтальных сумм солнечной радиации к суммам на перпендикулярной поверхности.

Как показывает вышеуказанная таблица XX, годовой ход процентного отношения сумм солнечной радиации на разных поверхностях идет согласно годовому ходу солнечного склонения.

Как отмечено и выше, выводы из 1/2 годовых актинометрических наблюдений в Абастумани были опубликованы еще Чиракадзе¹³. Мы сопоставили некоторые актинометрические данные настоящей статьи, выведенные из девятилетних наблюдений, с данными работы Чиракадзе и получили, что разница между возможными годовыми суммами не превосходит 2—3%, в действительных же суммах 1—2%. Величины напряжений полуденной радиации Солнца совпадают между собой, а коэффициенты прозрачности атмосферы разнятся лишь на 0.3%, если к данным Чиракадзе придать поправку за высоту места наблюдения над уровнем моря. Эти результаты произведенного нами сравнения 1/2-годовых данных с 9-летними свидетельствуют о достаточной устойчивости элементов солнечного климата Абастумани.

Мы привели основные актинометрические характеристики для Абастумани, которые возможно было вывести из существующих материалов наблюдений. После этого нам кажется не лишним интереса сделать краткое сопоставление данных Абастумани с аналогичными данными некоторых других курортов, что и представлено в таблице XXI.

Как показывает эта таблица, продолжительность солнечного сияния Абастумани очень близка к продолжительности сияния Бахмаро (сияние Солнца в Абастумани меньше сияния в Бахмаро на 31 час или на 1.6%), значительно отстает от сияния в Либани (341 час или 15%), Сухуми (157 час или 8%) и Шови (154 часа или 7.5%) и заметно превосходит сияние Солнца на знаменитом швейцарском курорте Давосе (на 108 часов или на 6%). Такая же картина получается и в отношении среднего дневного солнечного сияния: средняя дневная продолжительность солнечного сияния в Абастумани близка к среднему дневному солнечному сиянию в Бахмаро, меньше средних дневных солнечных сияний в Либани, Сухуми и Шови и больше среднего дневного сияния Солнца в Давосе. Более подробное сравнение приведено в таблице XXII.

Особо следует отметить одно обстоятельство: несмотря на то, что годовая сумма сияния Солнца в Абастумани превосходит таковую в Давосе, сияние в Давосе в январе и феврале все же оказывается заметно большим сияния в Абастумани.

Одним из основных элементов актинометрической характеристики данного места нужно считать полуденные величины прямой радиации Солнца, которые приводятся в таблице XXIII.

Величины, приведенные в этой таблице, в достаточной мере сравни между собой, так как географические широты данных мест не очень разнятся между собой, изменяясь от $41^{\circ}45'$ (Абастумани) до $46^{\circ}48'$ (Давос), а потому и полуденные высоты Солнца в этих местах должны быть довольно близки между собой.

Таблица показывает, что данные Абастумани больше данных курортов, лежащих ниже него (Сухуми) и меньше данных всех тех пунктов, которые лежат выше Абастумани (Бахмаро, Шови, Либани). Эти же величины могут дать некоторое представление и о состоянии прозрачности атмосферы перечисленных выше курортов. Однако, для оптико-радиационной характеристики атмосферы упомянутых пунктов мы располагаем более надежными и наглядными индексами, каковы коэффициент прозрачности и фактор мутности атмосферы. Но, пока сделаем сопоставление этих факторов для различных курортов, нужно отметить, что факторы мутности (T), вычисленные по формуле (2), мало сравнимы между собой в том случае, когда высоты мест наблюдений над уровнем моря намного разнятся друг от друга, так как замечен дополнительный виртуальный ход фактора мутности, зависящий от высоты места наблюдения над уровнем моря и отличный от того виртуального хода этого фактора, который вызывается изменением величин массы атмосферы. Благодаря этому обстоятельству T получает для высоко лежащих мест преувеличенные значения. Для устранения этого неудобства, в результате литературной дискуссии, было принято предложение Feussner'a и Du-bois¹⁴, согласно которому значения T , вычисленные для разных уровней по формуле (2), приводят («проектируют») к уровню моря при помощи следующей формулы:

$$T' = (T - 1) \frac{B_h}{760} \frac{a_m}{a_0} + 1 \quad (5)$$

Здесь T — фактор мутности, вычисленный по формуле (2), B_h — давление атмосферы в месте наблюдения, a_m — коэффициент поглощения идеальной атмосферы на том же месте, a_0 — такой же коэффициент для уровня моря, а T' — фактор мутности, приведенный уже к уровню моря.

Таблица XXIV содержит значения фактора мутности, приведенные к уровню моря при помощи формулы (5). Сравнение их между собой показывает, что значения факторов мутности атмосферы для взятых нами высокогорных курортов одного порядка и не намного отличаются между собой, изменяясь в годовом среднем от 1.88 для Бахмаро ($H=1934$ m) до 2.16 для Абастумани ($H=1260$ m). От них резко отличается фактор мутности для Сухуми ($T'=2.54$), что и нужно было ожидать, так

как Сухуми, лежащий на уровне моря, особенно выделяется среди перечисленных нами курортов и обилием влажности воздуха и, по всей вероятности, относительно большей запыленностью. В конце таблицы приводятся годовые амплитуды факторов мутности, из которых видно, что наибольшая амплитуда (1.08) имеет место в Сухуми, а наименьшая (0.52) в Давосе.

В таблице XXV мы приводим значения коэффициента прозрачности атмосферы для тех же курортов. Их сравнение между собой приводит к тем же результатам.

Очень важным показателем солнечного климата являются годовые суммы радиации, которые даны в таблице XXVI.

Сравнение годовых сумм солнечной радиации для приведенных пунктов показывает, что годовая сумма Абастумани для перпендикулярной поверхности приближается к годовой сумме Бахмаро (меньше ее на 3%), превосходит на 8% сумму Сухуми, меньше на 12% суммы Шови и на 14% суммы Либани. Годовая же сумма солнечной радиации Абастумани для горизонтальной поверхности на 5% превосходит соответствующую сумму Бахмаро, что не может быть объяснено различием в географическом положении этих мест; Бахмаро лежит лишь на 7° севернее Абастумани, и такая маленькая разница в географической широте не могла иметь такого большого влияния.

Это обстоятельство хорошо объясняется, по нашему мнению, дневным суточным ходом солнечного сияния на этих курортах, данные относительно которого приводятся в таблице XXVII.

Из этой таблицы видно, что часовые суммы до 8 часов утра и после 16 часов перед заходом Солнца в годовом среднем в Бахмаро больше, чем в Абастумани, а в околополуденные часы — наоборот: абастуманские суммы солнечного сияния превосходят часовые суммы Бахмаро. Как известно, при перевычислении сумм солнечной радиации с перпендикулярной поверхности на горизонтальную, множителем является синус высоты Солнца над горизонтом, который, конечно, в околополуденные часы имеет большую величину сравнительно с утренними и вечерними часами. Поэтому превосходство Бахмаро над Абастумани в числе часов солнечного сияния в утреннее и вечернее время не могло компенсировать влияния избытка солнечного сияния в околополуденные часы, которое выявляет Абастумани перед Бахмаро; вследствие этого суммы солнечной радиации на горизонтальной поверхности в Абастумани дали некоторый перевес над аналогичными суммами Бахмаро.

В таблицах XXVIII и XXIX мы даем распределение сумм солнечной радиации перечисленных курортов по времени года для обеих поверхностей, а также процентное отношение сезонных сумм радиации к годовой ее сумме.

Рассмотрение этих таблиц показывает, что распределение сумм тепла солнечной радиации по сезонам на горизонтальной поверхности (что практически важнее, по нашему мнению), для Абастумани зимой и осенью дает большие величины, чем для Давоса и Сухуми и меньшие, чем для Бахмара, Либани и Шови. Весенние суммы солнечной радиации Абастумани на той же горизонтальной поверхности превосходят аналогичные суммы всех приведенных в таблицах мест, а летние — уступают только суммам Либани и Шови. Такое сезонное распределение лебита солнечного тепла, наряду с другими климатическими преимуществами Абастумани, является, по всей вероятности, причиной того обстоятельства, что курортный сезон здесь продолжается круглый год.

Здесь же необходимо затронуть вопрос и о сравнимости между собой вышеприведенных актинометрических данных.

По нашему мнению, рассмотренные выше солярно-климатические данные всех перечисленных мест (за исключением Давоса) вполне сравнимы между собой, так как они относятся к одному и тому же периоду (1932—1940 г.г.), получены одинаковой аппаратурой и обработаны одним и тем же методом. Данные же Давоса хотя получены и обработаны тем же методом, но относятся к иному периоду, а именно к 1909—1910 г.г., что необходимо иметь в виду при их сравнительном анализе.

Март, 1942.

46035

* Donoho e-ს მდ 9 მედალის შორის, რომლითაც ჭყანარი ოკეანეს ასტრონომიულმა სახელგადოებამ 1942 წლის განმაცლობაში აღმოჩენილი კოშეტები აღნიშნა, ერთით დაკიდლდოვანია ასტროგატიარის სურ. მეცნ. თანამშრომელი გ. თევზაძე 1942 წლის დეკემბერში აპარატი აღმოჩინის დათვალიდებით აღმოჩენისათვის.

* 1943 წ. სექტემბერში მოწევული იყო გნევლგარდტის სახელმძღვანელო იაპიურგარენის (კაზანი) დირექტორი, პროფესორი დ. მარტინ თვარი, რომელიც გაეცნა იაპიურგარენის მნიშვნელობად ცვალებად ვარსკვლავზე წარმოიძგლი ელექტროკოლორისტრული დაკირვების მასალას. დ. მარტინ თვარი, კანსულტაციასთან ერთად, ორი ლექცია წაიკითხა მნიშვნელობადი ცვალებაზე გარსკვლავების პრობლემების შესახებ.

* 1945 წ. განვითარებულ ს იმ ე ი ს ი ს ობსტრუქტორის ასტრონომთა ჯგუფი, რომელიც დროიბით იმყოფებოდა აპასთუანში, განვითარებულ კიბელში.

* 1945 წ. 9 ივნისის მზის სრული დაბნელების დაკირცხვების მიზნით ობსერვატორიამ ექსპლიციურ განგანა ქ. ს თ რ ტ ა ვ ა ლ ა ს უფრ. მეცნ. თანამშრომლის მ. ვ ა შ ა კ ი ძ ი ს ხელ-მძღვანელობით, ექსპლიციამ აშერმო მზის კატალინის პოლარიზიტული დაკირცხვა.

* 1945 წ. 9 ივნისის მშინ დაბრელებასთან დაკავშირებით ობსერვატორიამ გამაჟვევა-
ნა პოტულარული ბრძოლისა „მისის სრული დაბრელება 1945 წლის 9 ივნის“ (საქ. სსრ მეც-
ნიერობათა აკადემიის განხორციელება).

* 1945 წ. იანვრში იმპერიალისტური დამოუკიდებელი მთავრობის მიერ გადას წარმოებას მოუწოდეს. სამართლებრივი მინისტრი, თანამდებობის მიერ, ასპირანტურას გადას წარმოებას მოუწოდეს.

* 1944 წ. შეკრისტული აქციონერი იქნა 3 ო ლ ა რ უ ლ ი ღ ე რ ძ ი, რომელიც ობსერვა-
ტორიისათვის დამახადა ომის წინ ლენინგრადის სახ. ასტრონომიულმა ინსტიტუტმა. პალა-
რულ ღრუძეზე, რომელიც აქციონერია წინადაგებულ კოშკში, უახლოეს მომავალში 8" კაშხერები
ყავთქმისა.

ХРОНИКА

* Одна из 9 медалей Донского, которыми Тихоокеанское Астрономическое Общество отметило открытия комет в 1942 году, присуждена ст. научному сотруднику Обсерватории Г. А. Тевзадзе за независимое открытие новой кометы в декабре 1942 года.

* В феврале 1945 г. в Обсерватории был приглашен Зав. Лабораторией атмосферной оптики Института теоретической геофизики АН СССР, профессор И. А. Хвостиков. Последний ознакомился с ведущимися в Обсерватории электрохромометрическими наблюдениями сумерек. Наряду с консультированием, И. А. Хвостиков прочел несколько лекций о строении атмосферы и методах ее изучения.